



Guía de Ejercicios N^o 4: Juntura MOS

Constante	Valor
q	$1,602 \times 10^{-19} \text{ C}$
m_0	$9,109 \times 10^{-31} \text{ kg}$
k	$1,381 \times 10^{-23} \text{ J/K} = 8,617 \times 10^{-5} \text{ eV K}$
h	$6,626 \times 10^{-34} \text{ J s} = 4,136 \times 10^{-15} \text{ eV s}$
ϵ_0	$88,5 \text{ fF/cm}$
$\epsilon_r(\text{Si})$	$11,7$
$\epsilon_r(\text{SiO}_2)$	$3,9$
T_{amb}	$27^\circ \text{C} = 300 \text{ K}$

Parte I: Juntura N+P

- ✓ 1. Dada una juntura MOS con $t_{ox} = 150 \text{ \AA}$ y construida en un sustrato tipo P con una concentración de $N_A = 5 \times 10^{16} \text{ cm}^{-3}$:
 - a) Calcule la capacidad por unidad de área, C'_{ox} , y el *body factor coefficient*, γ .
 - b) Calcule el espesor de la región de vaciamiento en equilibrio térmico.
 - c) Calcule la caída de potencial en la capa de óxido.
 - d) Calcule la caída de potencial en la región de vaciamiento.
 - e) Calcule el potencial electrostático en la interfaz $\text{SiO}_2 - \text{Si}$ en equilibrio térmico.
 - f) Repita los puntos anteriores para $V_{GB} = 2 \text{ V}$ y $V_{GB} = -2 \text{ V}$.
- ✓ 2. Dada un juntura MOS de canal N y sustrato tipo P, realice diagramas cualitativos de: a) densidad de portadores libres, b) densidad de carga, c) campo eléctrico y d) potencial, para los siguientes casos: a) $V_{GB} < V_{FB}$ b) $V_{GB} = V_{FB}$ c) $V_{GB} = 0$ d) $V_{GB} = V_T$ e) $V_{GB} > V_T$. Para este ejercicio puede utilizar los conjuntos de ejes de la figura 4 que se encuentra sobre el final de la guía. En este conjunto de ejes incluye, a modo de ayuda, el caso para $V_{GB} = 0$.
- ✓ 3. Si se tiene una juntura MOS con $t_{ox} = 200 \text{ \AA}$ construida en un sustrato tipo P con una concentración de $N_A = 5 \times 10^{16} \text{ cm}^{-3}$,
 - a) Determine para qué rango de tensiones aplicadas el capacitor se encuentra en acumulación, vaciamiento e inversión.
 - b) Calcule el campo eléctrico en el óxido y la carga por unidad de área en el sustrato de silicio para $V_{GB} = -2,5 \text{ V}$.
 - c) Calcule el espesor de la región de vaciamiento, la carga por unidad de área en el sustrato y el campo eléctrico en el óxido cuando el capacitor está polarizado con $V_{GB} = 2,5 \text{ V}$.
 - d) Sabiendo que la ruptura dieléctrica del óxido se produce para $E_{ox} = 5 \text{ MV/cm}$, calcule el rango de tensiones V_{GB} admisibles.
- ✓ 4. Considere una juntura MOS con $V_{FB} = -0,97 \text{ V}$, $V_T = 0,466 \text{ V}$, $C'_{ox} = 0,28 \text{ \mu F/cm}^2$, $\gamma = 0,65 \text{ V}^{0.5}$. Al aplicarle $V_{GB} = 0 \text{ V}$:
 - a) Indique en qué régimen se encuentra la juntura.
 - b) Calcule el nivel de dopaje del sustrato.
 - c) Calcule el espesor de la capa de óxido.
 - d) Determine el ancho de la zona desierta.
 - e) Calcule la caída de potencial en el óxido y en el sustrato.



- f) Calcule la densidad de carga superficial en el gate, en la interfaz óxido-sustrato y la carga por unidad de área en el sustrato.
 g) Repetir para $V_{GB} = -2\text{ V}$ y $V_{GB} = 2\text{ V}$.

Parte II: Juntura P+N y otras configuraciones

5. Suponga una juntura MOS con polisilicio tipo P⁺ y sustrato tipo N con una concentración $N_A = 8,5 \times 10^{15} \text{ cm}^{-3}$ y espesor de óxido $t_{ox} = 70 \text{ nm}$, a la que se le aplica una tensión $V_{GB} = 0 \text{ V}$.
- Calcule los parámetros γ , C'_{ox} , V_{FB} y V_T .
 - Indique en qué régimen se encuentra la juntura.
 - Determine el ancho de la zona desierta de la misma.
 - Calcule la caída de potencial en el óxido y en el sustrato.
 - Graficar $\log p(x)$, $\log n(x)$, $\rho(x)$, $E(x)$ y $\phi(x)$.
 - Repetir para $V_{GB} = -2\text{ V}$ y $V_{GB} = 2\text{ V}$.
6. Considere una juntura MOS con polisilicio tipo P⁺ y sustrato tipo N con parámetros $\gamma = 1,32 \text{ V}^{0.5}$, $C'_{ox} = 24,65 \text{ nF/cm}^2$, $V_{FB} = 0,892 \text{ V}$ y $V_T = -1,157 \text{ V}$. Si se le aplica una tensión $V_{GB} = 0 \text{ V}$:
- Indique en qué régimen se encuentra la juntura.
 - Determine el ancho de la zona desierta de la misma.
 - Calcule la caída de potencial en el óxido y en el sustrato.
 - Calcule la densidad de carga superficial en el gate, en la interfaz óxido-sustrato y la carga por unidad de área en el sustrato.
 - Repetir para $V_{GB} = -2,5 \text{ V}$ y $V_{GB} = 2,5 \text{ V}$.
7. Considere una juntura MOS con polisilicio tipo P⁺ y sustrato de silicio tipo P con parámetros $t_{ox} = 20 \text{ nm}$ y $N_a = 1 \times 10^{15} \text{ cm}^{-3}$:
- Considere el caso $V_{GB} = 0$ y realice los diagramas de I. densidad de portadores libres, II. densidad de carga, III. campo eléctrico y IV. potencial,
 - ¿En que régimen se encuentra la juntura en este caso?
 - Calcule: ϕ_B , C'_{ox} , γ , x_{d0} , V_T y V_{FB} .

Parte III: Capacidad de juntura

8. Dada una juntura N⁺P actuando como capacitor MOS con una concentración de $N_A = 10^{17} \text{ cm}^{-3}$, cuya curva de capacidad es la de la figura 1:
- A partir de la expresión de la capacidad, $C(V) = \partial Q / \partial V$, explique cómo se obtiene la curva de Capacidad vs. V_{GB} de la figura 1.
 - Calcule el espesor de la capa de óxido.
 - Calcule C_{min} .
 - Calcule el campo eléctrico en el óxido cuando $V_{GB} = V_T + 1 \text{ V}$.
 - Calcule el campo eléctrico en el óxido cuando $V_{GB} = V_{FB} - 1 \text{ V}$.
 - Dibujar la curva de capacidad si ahora el capacitor es P⁺N con igual t_{ox} e igual concentración de dopantes en el sustrato, solo que esta vez de tipo donador en lugar de aceptor.
9. Se tiene el circuito RC de la figura 2, donde $V_S = 0,3 \text{ V}$, $R = 1 \text{ k}\Omega$, el capacitor se encuentra realizado mediante una juntura MOS N⁺P. Los parámetros de la juntura son $t_{ox} = 100 \text{ \AA}$ y $N_A = 10^{16} \text{ cm}^{-3}$. La fuente v_s satisface:

$$v_s(t) = \begin{cases} 0 & \text{si } t < t_0 \\ 1 \text{ mV} & \text{si } t \geq t_0 \end{cases}$$

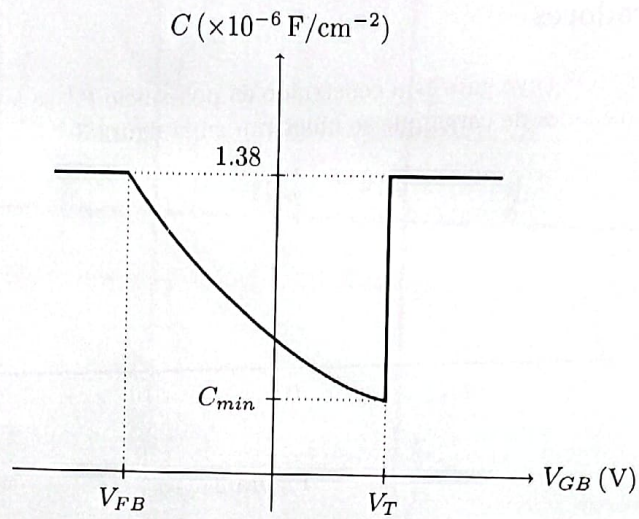


Figura 1

- Suponiendo que el escalón de tensión no modifica la capacidad de la juntura, hallar la constante de tiempo y graficar $V_c(t)$.
- ¿Seguiría siendo válida la suposición del ítem anterior si ahora la amplitud del escalón de $v_s(t)$ fuera 100 mV? ¿Por qué?
- ¿Y si ahora $V_S = 1 \text{ V}$ y la amplitud del escalón $v_s(t)$ es de 100 mV? Hallar la constante de tiempo y graficar $V_c(t)$.

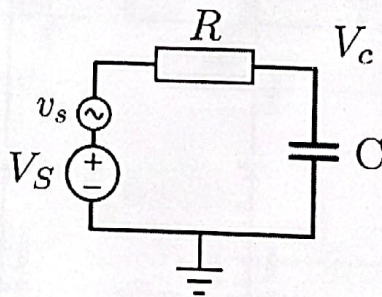


Figura 2



Parte IV: Integradores

- ✓ 10. A una estructura MOS cuyo gate está construido en poli-silicio P⁺ se le aplica un potencial $V_{GB} = 0,8 \text{ V}$ y resultan las densidades de carga que se muestran en la figura 3.

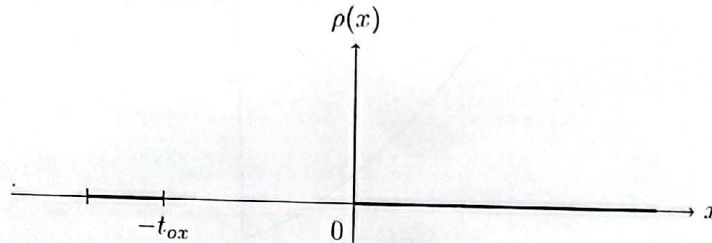


Figura 3

- ¿En qué estado de polarización (acumulación, inversión, etc.) se encuentra la juntura?
- ¿El semiconductor es tipo n o tipo p?
- ¿Cuánto vale la concentración de dopantes en el semiconductor?
- Para $V_{GB} = V_T$ explique cuánto debe valer $\phi(x = 0)$ e indique la concentración de portadores mayoritarios y minoritarios en $x = 0$.
- Para $V_{GB} = V_T$ dibuje en forma cualitativa el diagrama del potencial $\phi(x)$ en la juntura, señalando en el diagrama t_{ox} , x_{dmax} y V_{ox} .
- Sabiendo que el espesor de óxido es $t_{ox} = 10 \text{ nm}$, calcule la tensión umbral (V_T) de la juntura.

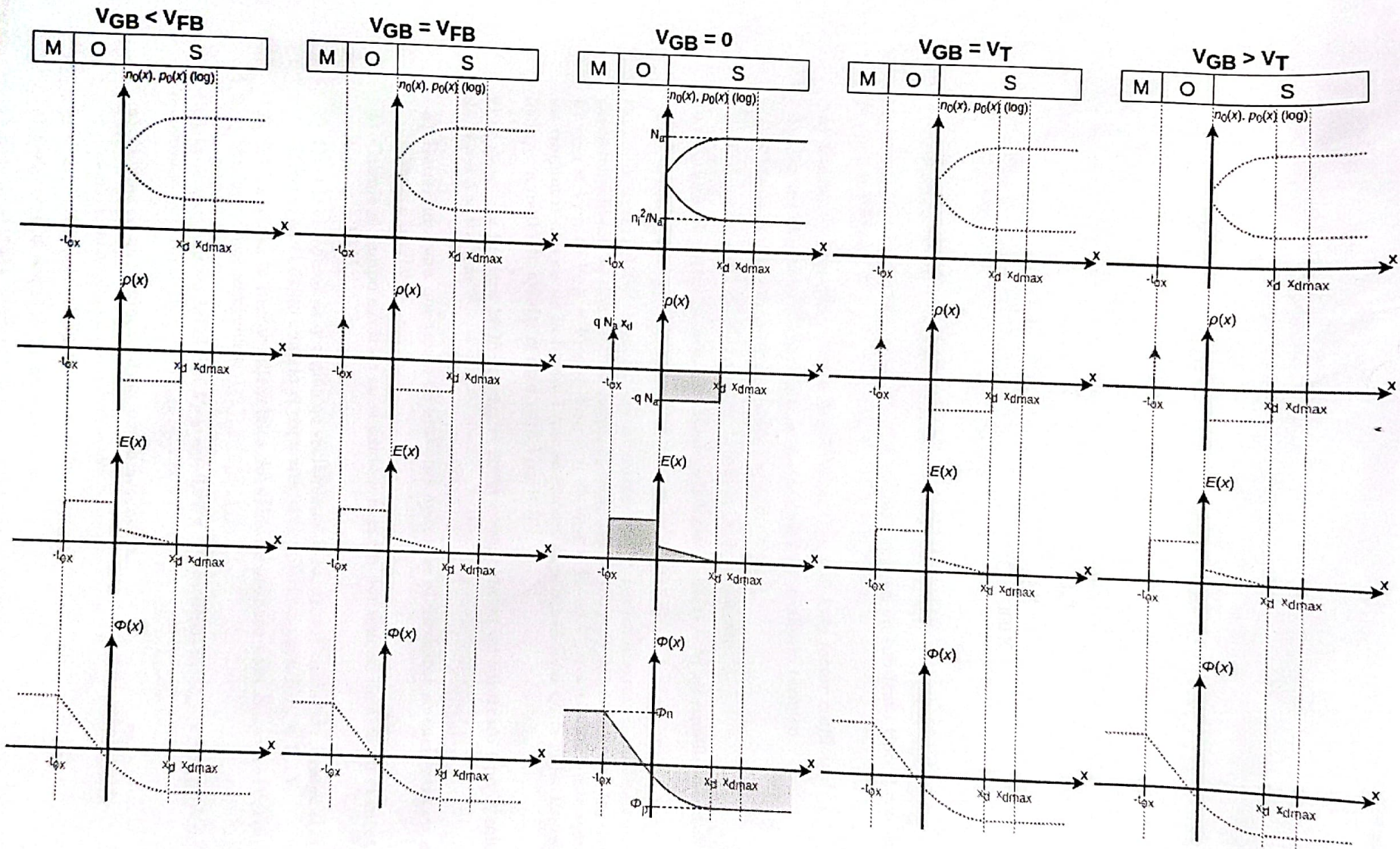


Figura 4



■ GUÍA N° 4: JUNTURA MOS

• PARTE I: Juntura N+P

1. a) La capacidad C_{ox} por unidad de área de óxido [F/cm^2] se define como:

$$C_{ox} = \frac{C_{ox}}{t_{ox}}$$

Siendo

$$C_{ox} = 3,9 \cdot 8,85 \cdot 10^{-14} \text{ F/cm}^2$$

$\underbrace{\hspace{10em}}_{\epsilon_r(\text{SiO}_2) \text{ [óxido de silicio]}}$

$$t_{ox} = 150 \text{ \AA} = 150 \cdot 10^{-10} \text{ m} = 150 \cdot 10^{-8} \text{ cm}$$

Entonces

$$C'_{ox} = \frac{3,9 \cdot 8,85 \cdot 10^{-14} \text{ F/cm}^2}{150 \cdot 10^{-8} \text{ cm}}$$

→ permitividad relativa del óxido.

$$C'_{ox} = 2,301 \cdot 10^{-7} \text{ F/cm}^2$$

* el espacio de C_{ox} , pero es C'_{ox} ya que no se tiene el dato del área de la juntura.

El body factor coefficient γ se define como:

$$\gamma = \frac{1}{C'_{ox}} \sqrt{2 \epsilon_s \cdot q \cdot N_a} \quad [\gamma] = V^{1/2}$$

↳ permitividad del silicio (semiconductor) $\epsilon_s(\text{Si})$

Es decir:

$$\gamma = \frac{1}{2,301 \cdot 10^{-7} \text{ F/cm}^2} \cdot \sqrt{2 \cdot 11,7 \cdot 8,85 \cdot 10^{-14} \text{ F/cm}^2 \cdot 1,602 \cdot 10^{-19} \text{ C} \cdot 5 \cdot 10^{16} \text{ cm}^{-3}}$$

$$\gamma = 0,5597 \text{ V}^{1/2}$$

b) Se pide el "espesor" de la región de vaciamiento, pero en realidad se refiere al ancho de la zona de vaciamiento, o extensión de la zona de vaciamiento, ^{pero se define como:}

$$x_d(V_{GS}) = \frac{Q_s}{C'_{ox}} \left[\sqrt{1 + \frac{4(\phi_B + V_{GS})}{\gamma^2}} - 1 \right]$$

En régimen de vaciamiento son válidos todos los resultados obtenidos para $V_{GS} = 0$ mediante $\phi_B \rightarrow \phi_B + V_{GS}$

En un semiconductor (substrato o substrate), región QNR tipo P vale:

$$\phi_0 = N_A \Rightarrow \phi_{SUST} = - \frac{kT}{q} \ln \left(\frac{N_A}{n_i} \right)$$

Potencial de interior: $\phi_B = \phi_{gate} - \phi_{SUST} = 550 \text{ mV} + \frac{kT}{q} \ln \left(\frac{N_A}{n_i} \right)$

Entonces:

$$\phi_{SUST} = - 25,9 \text{ mV} \ln \left(\frac{5 \cdot 10^{16} \text{ cm}^{-3}}{6,827 \cdot 10^9 \text{ cm}^{-3}} \right)$$

$$\phi_{SUST} = - 408,8 \text{ mV}$$

Así lo que:

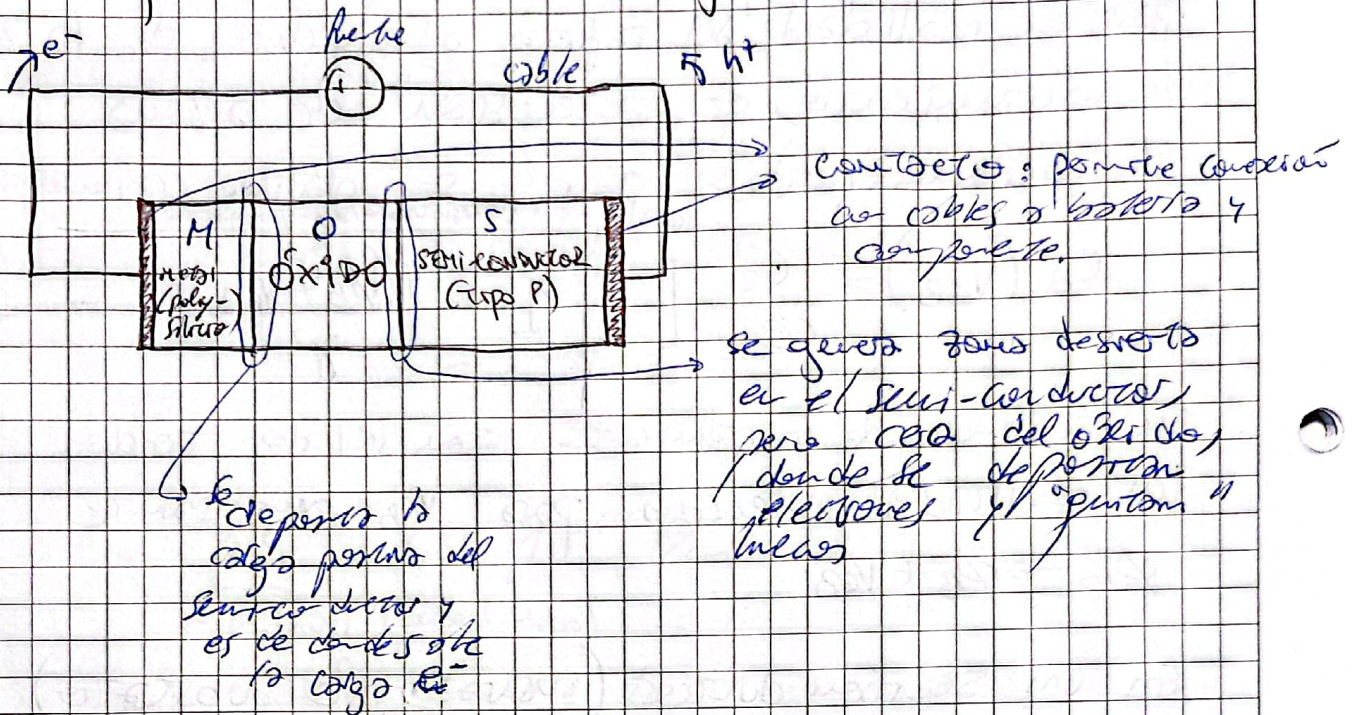
$$\phi_B = 550 + 408,8 \text{ mV} = 958,8 \text{ mV}$$

De esta manera,

$$x_d(0V) = \frac{11,7 \cdot 8,85 \cdot 10^{-14} \text{ F/cm}}{21,302 \cdot 10^7 \text{ F/cm}^2} \left[\sqrt{1 + \frac{4(0,958810V)}{(0,5597)^2 V}} - 1 \right]$$

$$x_d(0V) = 1,1874 \cdot 10^{-5} \text{ cm}$$

c) Para que se entienda mejor:



Algunas características destacables:

- Hay neutralidad de carga
- El óxido bloquea la redistribución de carga puesto que es un aislante.
- La fuente y el cable van al semiconductor y al silicio que poseen distinto potencial.
- En el polysilicio (metal) la carga se acumula únicamente en la superficie y en contacto con el óxido.

Entonces, de observar los gráficos de carga en el semiconductor, luego integrando y, así, obteniendo el campo eléctrico \vec{E} , luego volviendo a integrar, se obtiene el potencial electrostático.

En el gate (poly silicio depositado tipo N), siempre se asume que está potencialmente cargado, por lo que:

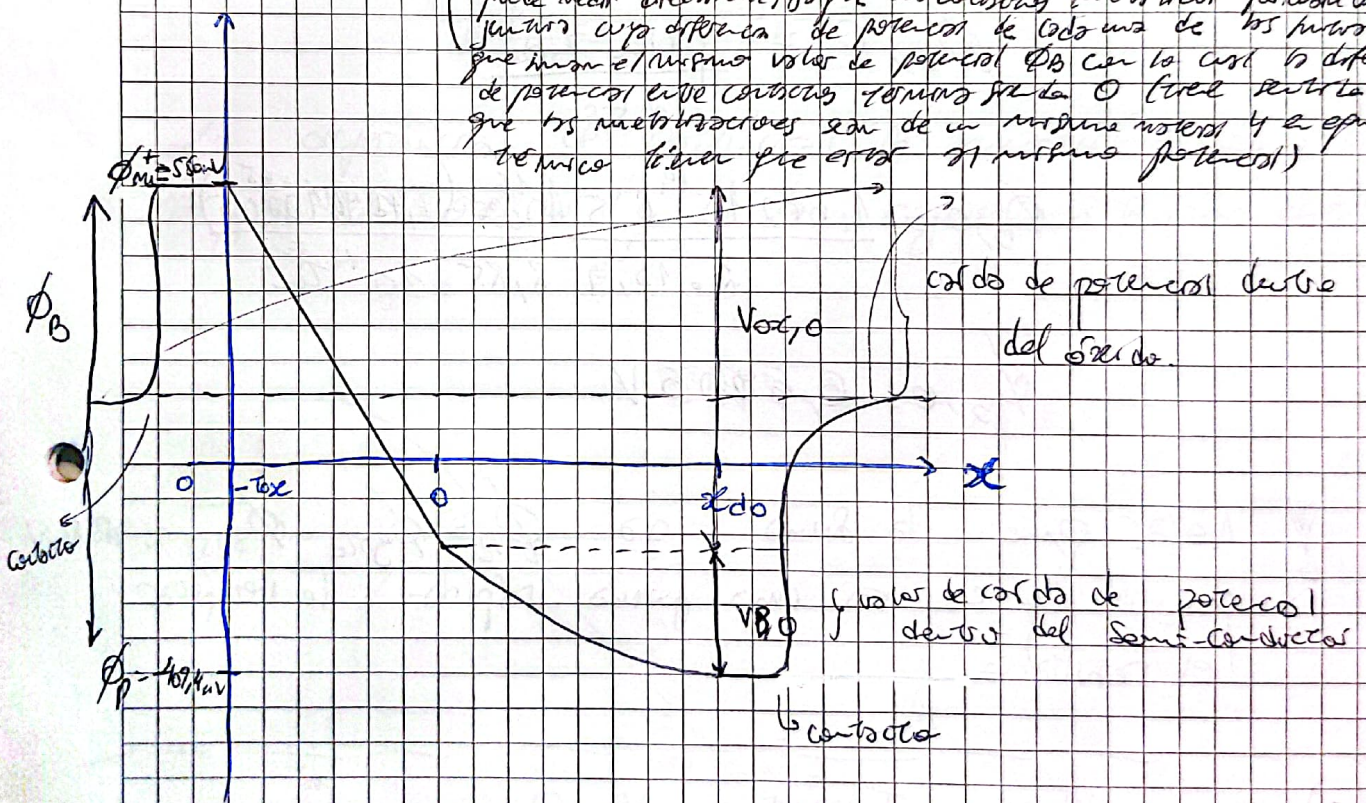
$$\phi_{gate} = 550 \text{ mV}$$

Por otra lado, en el semi-conductor representamos un tipo P volteado.

$$p_0 = N_A \Rightarrow \phi_{surf} = - \frac{kT}{q} \ln \frac{N_A}{n_i} = -409,4 \text{ mV}$$

Se tiene:

(con el caso que la diferencia de potencial del built-in no se pueda medir directamente, ya que los contactos metálicos forman una unión cuyo diferencia de potencial de cada una de las uniones que tienen el mismo valor de potencial ϕ_B con lo cual la diferencia de potencial entre contactos formados sería 0 (con el riesgo que las mediciones sean de un mismo material y a espesores diferentes tiene lugar por error al mismo potencial)



Representando el operación original, la caída de potencial en la capa del óxido vale:

$$V_{ox,0} = E_{ox} \cdot t_{ox} = \frac{q N_A x_{d0} t_{ox}}{E_{ox}}$$

reemplazando por los valores:

$$V_{ox,0} = \frac{1,602 \cdot 10^{-19} \text{ C} \cdot 5 \cdot 10^{16} \text{ cm}^{-3} \cdot 1,1874 \cdot 10^{-5} \text{ cm} \cdot 450 \cdot 10^{-8} \text{ cm}}{3,9 \cdot 8,85 \cdot 10^{-14} \text{ cm}}$$

$$V_{ox,0} = 0,4133 \text{ V}$$

(d) en la región de vaciamiento, el potencial ϕ_B :

$$\phi_{B,0} = \frac{q N_A x_{do}^2}{2 \epsilon_s}$$

Es decir

$$\phi_{B,0} = \frac{1,602 \cdot 10^{-19} \text{ C} \cdot 5 \cdot 10^{16} \text{ cm}^{-3} \cdot (1,1874 \cdot 10^{-5} \text{ cm})^2}{2 \cdot 11,7 \cdot 8,85 \cdot 10^{-14} \text{ cm}}$$

$$\phi_{B,0} = 0,5453 \text{ V}$$

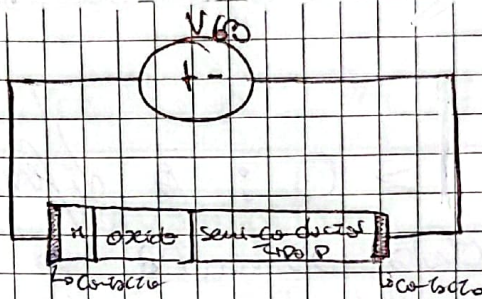
! Nota que la suma da $\phi_B = \phi_{gate} - \phi_{sub} \approx 958,8 \text{ mV}$
por lo que es una forma rápida de verificar el resultado

(e) en equilibrio térmico $V=0$,
por lo que:

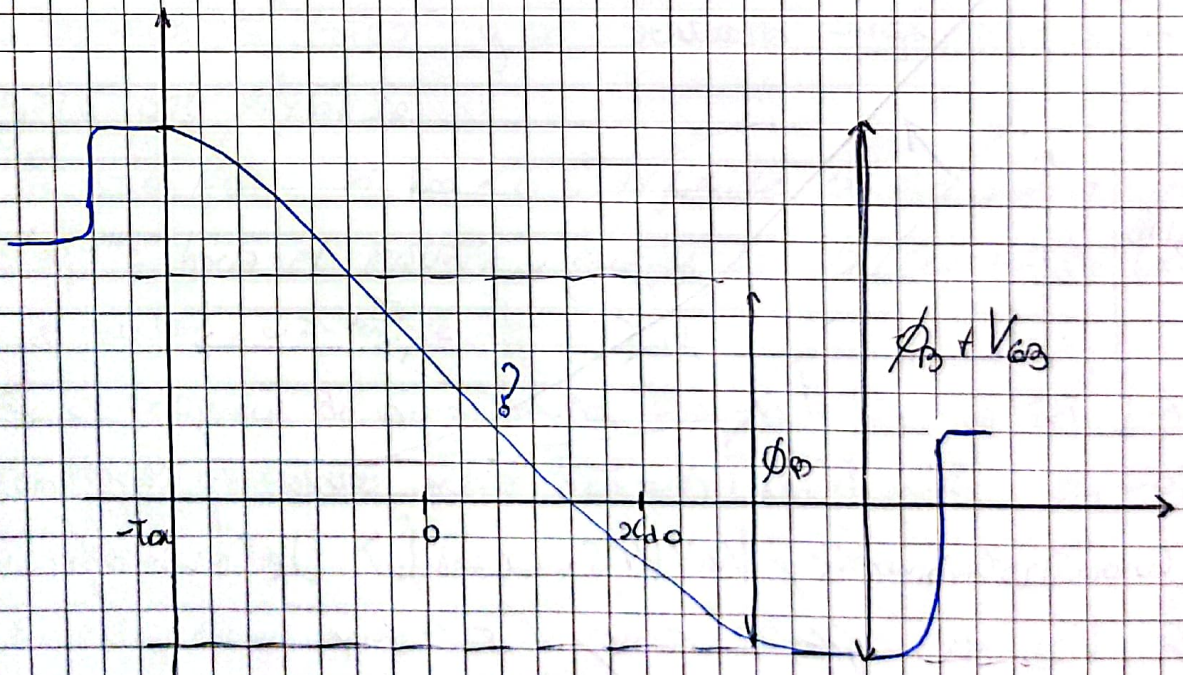
$$\phi_B = 958,8 \text{ mV} \quad (\text{diferencia entre ambos, como se obtuvo en d}).$$

¡Vereis!

f) Al aplicar una tensión al gate con respecto al sustrato semiconductor la electrostática del MOS se ve afectada \Rightarrow la diferencia de potencial de potencial a lo largo de la estructura ahora es distinta de cero.



La diferencia de potencial se manifiesta a lo largo del óxido y de la región SCR (zona de retro).



El óxido es un aislante \Rightarrow no hay corriente en la estructura.

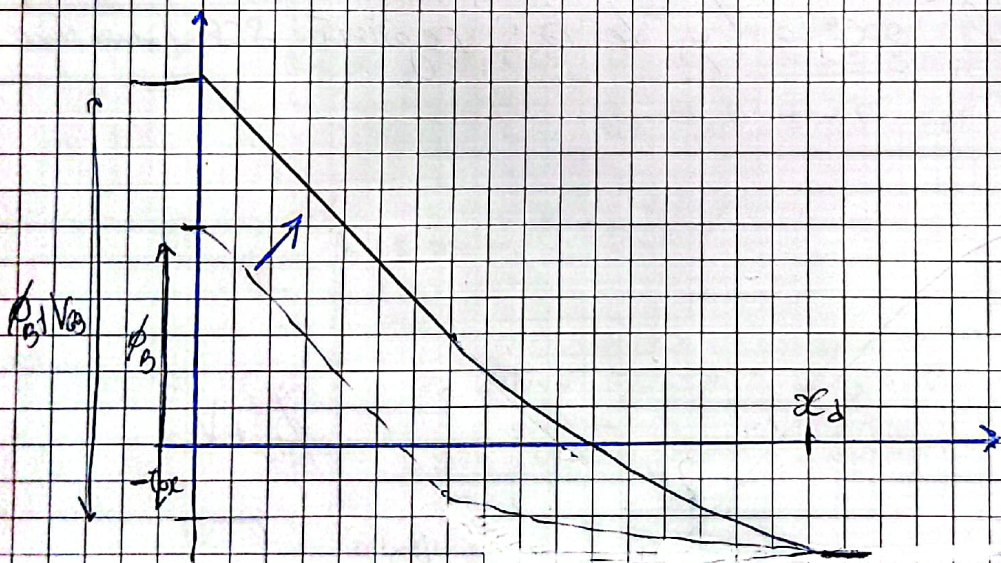
En la SCR (zona de retro), prevalece una fracción de

Casi-equilibrio \rightarrow mejor balance entre las constantes de arrastre y difusión.

o La electrostática es prácticamente idéntica que sin polarización (pero cambia la cantidad de carga distribuida).

o $\mu_{sp0} = m \cdot r^2$

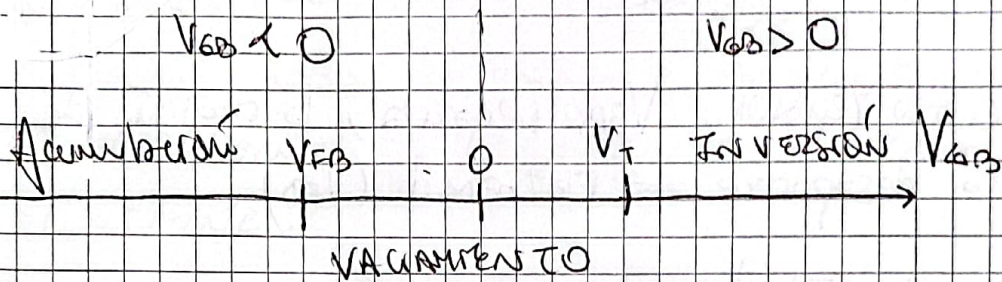
Si V_{GB} es ligeramente > 0 : la diferencia de potencial de la estructura aumenta \rightarrow mayor dipolo de carga \Rightarrow la SCR debe expandirse.



Cuantitativamente, la SCR no se modifica si V_{GB} es apenas mayor o menor. Se pueden emplear las mismas ecuaciones sin polarización, pero teniendo en cuenta $\phi_B \rightarrow \phi_B + V_{GB}$

Es necesario identificar el tipo de régimen en el que se encuentra la estructura antes de realizar cálculos:

Existen tres regiones de operación delimitadas por dos tensiones con nombre propio:



• Régimen de vaciamiento: Si $V_{gs} > 0$, la frente mueve huecos desde el sustrato hacia el gate y la región de vaciamiento crece. Además, el χ_d se ensancha debido a los huecos sustraídos y se acumula carga positiva en el gate del polímero.

Por otro lado, si $V_{gs} < 0$, la frente mueve huecos desde el gate hacia el sustrato, entonces la región de vaciamiento se contrae, disminuyendo χ_d .

En el régimen de vaciamiento son válidos todos los resultados obtenidos para $V_{gs} = 0$ ^(eq. 7.14) mediante $\phi_B \rightarrow \phi_B + V_{gs}$ siempre $|V_{gs}| < |V_{FB}|$ y $|V_{gs}| < |V_t|$.

En este régimen:

$$Q_d(V_{gs}) = \frac{\epsilon_s}{C_{ox}} \left[\sqrt{1 + \frac{4(\phi_B + V_{gs})}{\gamma^2}} - 1 \right]$$

$\int_{-x_d}^{x_d} p(x) dx$

$$C = p N_A \frac{\partial Q_d(V_{gs})}{\partial V_{gs}} = \frac{C_{ox}}{\sqrt{1 + \frac{4(\phi_B + V_{gs})}{\gamma^2}}}$$

ϕ_B es el valor posible V_{gs} , es variable (es lo mismo e sr...)

$$V_B(V_{GS}) = \frac{q N_A x_d^2}{2 \epsilon_s} \quad (\text{cm})$$

$$V_{ox}(V_{GS}) = \frac{q N_A x_d t_{ox}}{\epsilon_{ox}}$$

- Para cierta tensión V_{GS} negativa, la región de vaciamiento desaparece \Rightarrow Flatband (V_{FB})

Tensión de Flatband:

$$V_{FB} = -\phi_0$$

Entonces, el potencial electrostático es constante a lo largo de toda la estructura, la distribución de carga es $\rho = 0$, el campo eléctrico es nulo y en el semiconductor

(tipo p) $p = N_A$ y $n = \frac{n_i^2}{N_A}$

$$V_B(V_{GS}) = 0 \quad x_d \text{ es muy pequeña } \approx 0$$

$$V_{ox}(V_{GS}) = 0$$

$$Q'_{f,oxide} = 0$$

$$\} = C_{ox} (V_{GS} - V_{FB}) = 0$$

! ojo que ϕ_0 no es cero (a no necesariamente),
solo que $V_{FB} = -\phi_0 \Rightarrow V_{GS} = V_{FB}$

- Régimen de acumulación

Si $V_{GS} < V_{FB}$ hay acumulación de huecos en la interfaz Si/SiO₂.

Existe un campo eléctrico dentro del óxido (para ahora, de signo contrario)

Entonces, toda la carga se encuentra en la interfaz con el aislante y el potencial eléctrico se aplica al aislante.

Dado que $V_{GS} < V_{FB}$, es posible pensar que la estructura MOS se comporta como un capacitor de placas paralelas luego de pasar

$$V_{FB} \Rightarrow Q'_{poly-ox} = C'_{ox} (V_{GS} - V_{FB})$$

≈ 0 (una muy densidad de carga)

$$V_B + V_{GS} = V_B + V_{ox} \Rightarrow V_{ox} = V_{GS} - V_{FB}$$

$$V_{Bulk} = V_B = 0$$

ad es muy pequeño, desaparece,

- Tensión umbral $(V_T)_{\text{threshold}}$.

Para $V_{GS} > 0$ suficientemente grande, la electrostática comienza cuando $n(0) = N_A \Rightarrow$ umbral.

Superado el umbral, no es posible despreciar la contribución de los electrones a la electrostática.

V_T es la tensión de compuerta que produce

$n(0) = N_A$ (la concentración umbral de e^- es igual a la concentración de huecos inicialmente N_A)
en el Si-SiO₂ interface.

Se aumen voltds los concntraciones de electrones de vacancia y se desprecia la concntración de electrones para tener un nivel.

$$V_0(V_T) = -2\phi_p$$

dado que en la región cristalina vale ϕ_p y en $x=0$ vale $-\phi_p$. Entonces, dicha diferencia entre ambos vale $-2\phi_p$.

x_d se puede obtener utilizando la relación entre V_0 y x_d en vacío, así de

$$x_d(V_T) = x_{dmax} = \sqrt{\frac{2\epsilon_s(-2\phi_p)}{qN_A}}$$

Entonces:

$$V_{ox}(V_T) = \frac{qN_A x_d(V_T)}{\epsilon_{ox}} t_{ox} = \gamma \sqrt{-2\phi_p}$$

Siendo $\phi_B = -V_{FB}$ se despeja V_T tal que:

$$V_T = V_{FB} - 2\phi_p + \gamma \sqrt{-2\phi_p}$$

Otras conclusiones importantes son:

- Si N_A es mayor, entonces se necesita un V_T mayor. A mayor dopaje, mayor tensión requerida para producir $n(a) = N_A$.

- Si t_{ox} es mayor ($\epsilon_{ox} \downarrow$) entonces V_T será menor.

Para óxido más delgado, es menor la carga de interfaz en el.

• Regimen en Inversión ($V_{GS} > V_T$)

La concentración de electrones en la interfaz Si/SiO₂ supera a la concentración de átomos aceptores y se produce la inversión del material.

Para calcular Q'_m vs. V_{GS} se utiliza la aproximación de carga superficial. (La capa de electrones en la superficie del semiconductor es mucho más delgada que cualquier otra dimensión del problema (t_{ox} , x_d))

Se destacan los siguientes fenómenos:

- El ancho de la zona de vacante llega a un valor máximo y se vuelve constante.

$$x_d(V_T) = x_{dmax}$$

- La diferencia de potencial en el sistema (semiconductor) alcanza un valor constante

$$V_B(mv) \approx V_B(V_T) = -2\phi_p \Rightarrow \phi_B - V_B + V_{GS} = V_{ox}$$

- Comienza a acumularse carga de forma superficial en la interfaz óxido semiconductor de signo negativo.

$$V_{ox} = \phi_B + V_{GS} - V_B$$

$$|Q'_p| = |Q'_m| + q N_A x_d(max)$$

$$Q'_m : \text{Carga de inversión} = -C'_{ox} (V_{GS} - V_T)$$

$$C' = C'_{ox}$$

se toma un coeficiente

similar al capacitor de

placas paralelas para $V_{GS} > V_T$.

El control de Q'_m mediante V_{GS} es la clave de la electrónica del MOS

Entonces, de regreso al ejercicio. (el punto a. me cambia)
 obtengo V_{FB} y V_T

$$V_{FB} = -\phi_B = -958,8 \text{ mV}$$

$$V_T = V_{FB} - 2\phi_p + \gamma \sqrt{-2\phi_p}$$

$$V_T = -958,8 \text{ mV} - 2 \cdot (-409,4 \text{ mV}) + 0,5597 \text{ V}^{1/2} \sqrt{-2 \cdot (-409,4 \text{ mV})}$$

$$V_T = 3,66,4589 \text{ mV}$$

Entonces, si $V_{GS} = 2 \text{ V}$, la estructura habrá superado V_T y se encontrará en régimen de inversión.

Por otro lado si $V_{GS} = -2 \text{ V}$, la estructura tendrá $V_{GS} < V_{FB}$, por lo que estará en régimen de acumulación.

De esta manera,

Para: $V_{GS} = 2 \text{ V}$:

$$\alpha_d(V_{GS} = 2 \text{ V}) \geq \alpha_{d,max} \geq \alpha_d(V_T) = \sqrt{\frac{2 \epsilon_s (-2\phi_p)}{q N_A}}$$

$$\alpha_d(2 \text{ V}) = \sqrt{\frac{2 \cdot 11,7 \cdot 8,85 \cdot 10^{-14} \text{ F/cm} \cdot (-2 \cdot \frac{409,4 \text{ mV}}{1000 \text{ mV/V}})}{1,602 \cdot 10^{-19} \text{ C} \cdot 5 \cdot 10^{16} \text{ cm}^{-3}}}$$

$$b) \alpha_d(2 \text{ V}) = 2,4549 \cdot 10^5 \text{ cm}^2/\text{V}^2$$

$$d) V_{\text{bulk}} = V_B = -2\phi_p = -2 \cdot (-409,4 \text{ mV}) = \boxed{818,8 \text{ mV}}$$

$$c) V_{ox} = \phi_B + V_{GB} - V_B = 0,9588 \text{ V} + 2 \text{ V} - 0,8188 \text{ V}$$

$$\boxed{V_{ox} = 2,14 \text{ V}}$$

$$e) \phi_B + V_{GB} = 0,9588 \text{ V} + 2 \text{ V} = 2,9588 \text{ V}$$

Para $V_{GB} = -2 \text{ V}$, x_d , el ancho de la zona de carga, es muy pequeña, desaparece y puede considerarse 0
b) en régimen de acumulación.

$$d) V_B = 0 \text{ (no hay densidad de carga)}$$

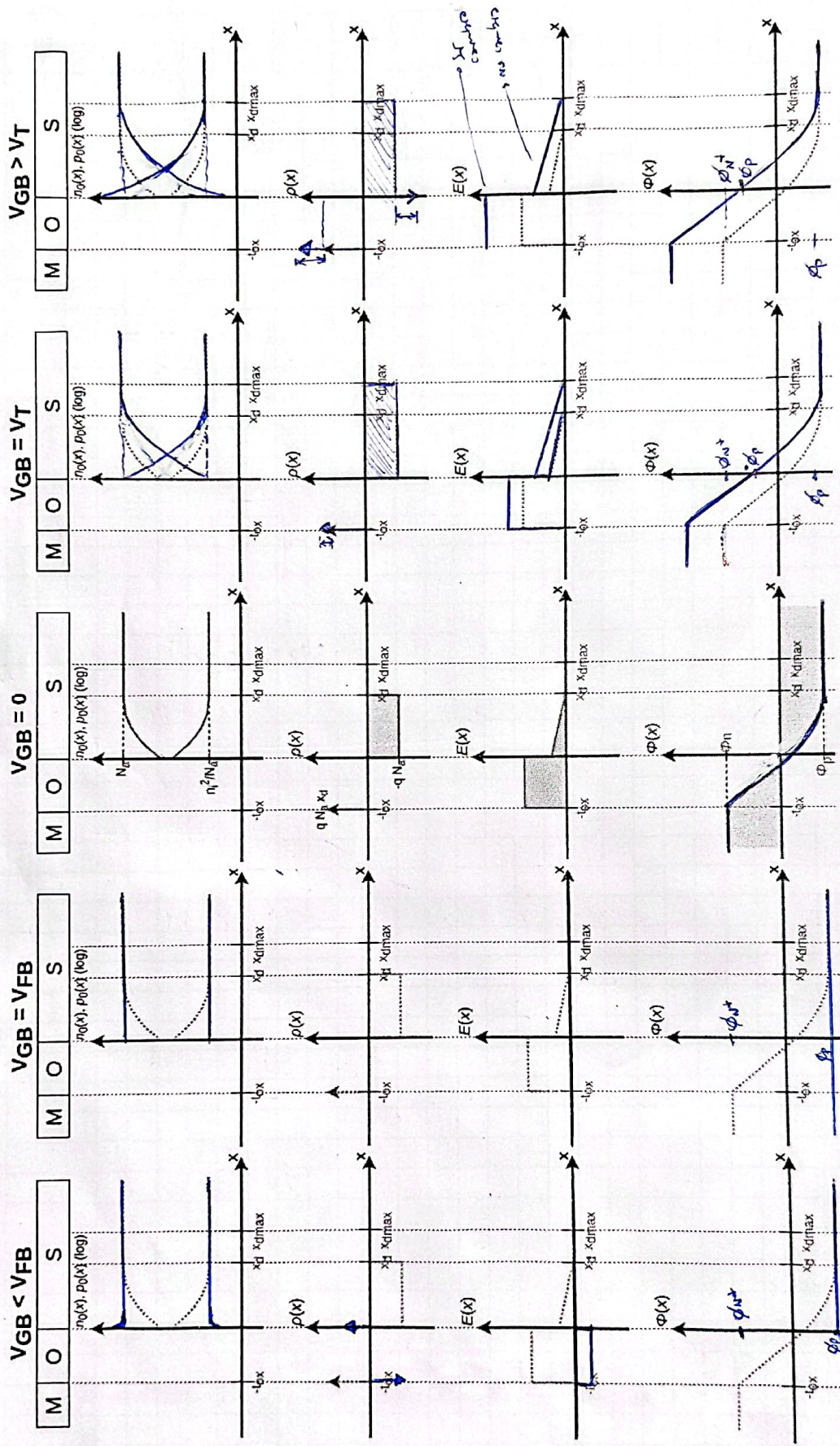
$$c) \phi_B + V_{GB} = V_{ox} \Rightarrow V_{ox} = 0,9588 \text{ V} - 2 \text{ V} = \boxed{-1,0412 \text{ V}}$$

$$e) \phi_B + V_{GB} = -1,0412 \text{ V}$$

Acumulación

Variación de V_G

Im versión



$$3. \quad t_{ox} = 200 \text{ \AA} = 200 \cdot 10^{-8} \text{ cm} = 2 \cdot 10^{-6} \text{ cm}$$

SUBSTRATO (semiconductor) de tipo P.

$$N_A = 5 \cdot 10^{16} \text{ cm}^{-3}$$

$$C'_{ox} = \frac{\epsilon_{ox}}{t_{ox}} = \frac{3,9 \cdot 8,85 \cdot 10^{-14} \text{ F/cm}}{2 \cdot 10^{-6} \text{ cm}} = \boxed{1,72575 \cdot 10^{-7} \frac{\text{F}}{\text{cm}^2}}$$

$$\gamma = \frac{1}{C'_{ox}} \sqrt{2 \epsilon_s q N_A} = \frac{1}{1,72575 \cdot 10^{-7} \frac{\text{F}}{\text{cm}^2}} \sqrt{2 \cdot 11,7 \cdot 8,85 \cdot 10^{-14} \text{ F/cm} \cdot 1,602 \cdot 10^{-19} \text{ C} \cdot 5 \cdot 10^{16} \text{ cm}^{-3}}$$

$$\gamma = \frac{1}{1,72575 \cdot 10^{-7} \frac{\text{F}}{\text{cm}^2}} \sqrt{2 \cdot 11,7 \cdot 8,85 \cdot 10^{-14} \text{ F/cm} \cdot 1,602 \cdot 10^{-19} \text{ C} \cdot 5 \cdot 10^{16} \text{ cm}^{-3}}$$

$$\boxed{\gamma = 0,7463 \text{ V}^{1/2}}$$

a) Para esto se debe obtener V_{FB} y V_T

Dado que:

$$\phi_s = \phi_p = - \frac{kT}{q} \ln \frac{N_A}{n_i} = -25,9 \text{ mV} \cdot \ln \left(\frac{5 \cdot 10^{16} \text{ cm}^{-3}}{6,822 \cdot 10^9 \text{ cm}^{-3}} \right)$$

$$\phi_p = \boxed{\phi_p = -409,41 \text{ mV}}$$

$$\boxed{\phi_{60\%} = 550 \text{ mV}}$$

$$\phi_B = \phi_0 - \phi_p = 550 \text{ mV} + 409,41$$

$$\boxed{\phi_B = 959,41 \text{ mV}}$$

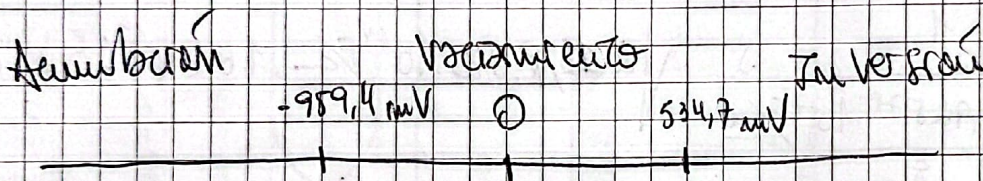
$$V_{FB} = -\phi_B$$

$$V_{FB} = -959,41 \text{ mV}$$

$$V_T = V_{FB} - 2\phi_p + \gamma \sqrt{-2\phi_p}$$

$$V_T = -959,41 \text{ mV} - 2 \cdot (-409,41 \text{ mV}) + 0,7463 \cdot \sqrt{-2 \cdot (-409,41 \text{ mV})}$$

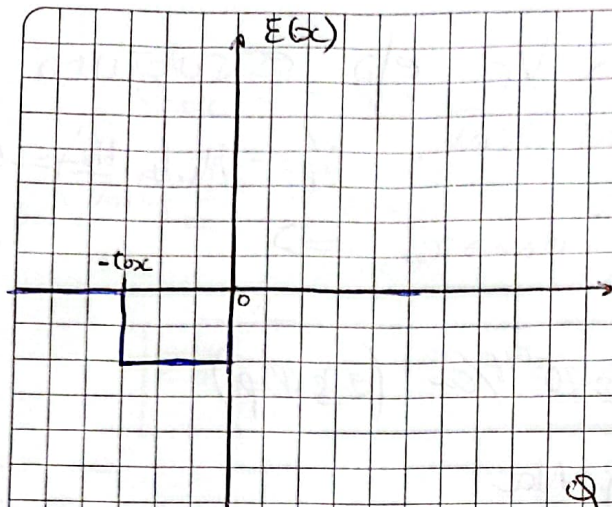
$$V_T = 534,70 \text{ mV}$$



b) Si $V_{GS} = -2,5 \text{ V}$, esto significa que la estructura MOS se encuentra en Umbral, puesto que $V_{GS} < V_T$.
Para encontrar el campo eléctrico, resulta útil integrar la ecuación de Gauss

$$E_0(x_2) - E_0(x_1) = \frac{1}{\epsilon} \int_{x_1}^{x_2} \rho_0(x) dx$$

Resulta útil recordar cotidianamente el gráfico de campo eléctrico en esta situación



recordando que para $V_{GS} < V_{FB}$, la carga se comportaba como en un capacitor de placas paralelas:

$$Q'_{po} = C'_{ox} (V_{GS} - V_{FB}) \Rightarrow$$

$$E_{ox} = \frac{C'_{ox} (V_{GS} - V_{FB})}{\epsilon_{ox}}$$

Entonces:

$$C'_{ox} = \frac{3,9 \cdot 8,85 \cdot 10^{-14} \text{ F/cm}^2}{2 \cdot 10^{-8} \text{ cm}} = 1,72575 \cdot 10^{-7} \text{ F/cm}^2$$

$$\epsilon_{ox} = 3,9 \cdot 8,85 \cdot 10^{-14} \text{ F/cm}$$

$$E_{ox} = \frac{1,72575 \cdot 10^{-7} \text{ F/cm}^2 (-2,5 - (-0,9594 \text{ V}))}{3,9 \cdot 8,85 \cdot 10^{-14} \text{ F/cm}}$$

$$E_{ox} = -770300 \text{ V/cm}$$

La carga por unidad de área se calcula como:

$Q'_{po} = C'_{ox} (V_{GS} - V_{FB})$ para el poly-óxido
y para el sustrato es igual pero con el signo cambiado.

$$Q'_s = -C'_{ox} (V_{GS} - V_{FB})$$

$$Q'_s = 2,6586 \cdot 10^{-9} \text{ C/cm}^2$$

• por qué no se tiene
"en cuenta" N_A ?
por que $V_{GS} < V_{FB}$
y se "anula" su efecto al
sobrepasar V_{FB} .

c) Dado que $V_{GS} = 2,5 \text{ V} > V_T$ la estructura está en régimen de inversión. $\phi_p = -V_{th} \ln\left(\frac{N_D}{n_i}\right) = -409,4 \text{ mV}$

$$\alpha_d(V_{GS}) = \alpha_d(V_T) = \alpha_{d_{max}} \Rightarrow$$

$$\alpha_{d_{max}} = \sqrt{\frac{2 \cdot 117 \cdot 8,85 \cdot 10^{-14} \text{ F/cm} \cdot (-2 \cdot \phi_p)}{q N_D}}$$

$$\alpha_{d_{max}} = \sqrt{\frac{2 \cdot 117 \cdot 8,85 \cdot 10^{-14} \text{ F/cm} \cdot \left(-2 \cdot \frac{-409,4 \text{ mV}}{1000}\right)}{1,602 \cdot 10^{-19} \text{ C} \cdot 5 \cdot 10^{16} \text{ cm}^{-3}}}$$

$$\alpha_{d_{max}} = 1,4549 \cdot 10^{-5} \text{ cm}$$

$$Q'_s = -q N_D \alpha_{d_{max}} - C'_{ox} (V_{GS} - V_T) \quad \rightarrow C' = C'_{ox}$$

$$Q'_s = -1,602 \cdot 10^{-19} \text{ C} \cdot 5 \cdot 10^{16} \text{ cm}^{-3} \cdot 1,4549 \cdot 10^{-5} \text{ cm}$$

$$= \frac{C_{ox}}{t_{ox}} (2,5 \text{ V} - 0,5347 \text{ V})$$

$$Q'_s = -1,1653 \cdot 10^{-7} = \frac{3,9 \cdot 8,85 \cdot 10^{-14} \text{ F/cm}}{2 \cdot 10^{-6} \text{ cm}} \cdot 1,9653 \text{ V}$$

$$Q'_s = -4,5569 \cdot 10^{-7} \frac{\text{C}}{\text{cm}^2}$$

$$Q'_{\text{pox}} = -Q'_s = -4,5569 \cdot 10^{-7} \text{ C/cm}^2$$

$$E_{\text{pox}} = \frac{Q'_{\text{pox}}}{\epsilon_{\text{ox}}} = \frac{4,5569 \cdot 10^{-7} \text{ C/cm}^2}{3,9 \cdot 8,85 \cdot 10^{-14} \text{ F/cm}}$$

$$E_{\text{pox}} = -1320266,55 \text{ V/cm}$$

d) $5 \text{ MV/cm} = 5 \cdot 10^6 \text{ V/cm}$

$$5 \cdot 10^6 \text{ V/cm} > \frac{q N_a x_{\text{dmax}} + C'_{\text{ox}} (V_{\text{GB}} - V_T)}{\epsilon_{\text{ox}}}$$

$$5 \cdot 10^6 \text{ V/cm} > \frac{1,602 \cdot 10^{-19} \text{ C} \cdot 5 \cdot 10^{16} \text{ cm}^{-3} \cdot 14,549 \cdot 10^5 \text{ cm} + 1,72575 \cdot 10^{-7} \text{ F/cm}^2 (V_{\text{GB}} - 0,534 \text{ V})}{3,9 \cdot 8,85 \cdot 10^{-14} \text{ F/cm}}$$

$$* = (V_{\text{GB}} - 0,534 \text{ V})$$

despejando:

$$V_{\text{GB}} < 9,8594 \text{ V}$$

Pero, tambien debo calcular para el caso

en que $E = -5 \cdot 10^6 \text{ V/cm}$

$$-5 \cdot 10^6 \text{ V/cm} < \frac{C'_{\text{ox}} (V_{\text{GB}} - V_{\text{FB}})}{\epsilon_{\text{ox}}}$$

$$5 \cdot 10^6 \text{ V/cm} > \frac{1,72575 \cdot 10^{-7} \text{ F/cm}^2 (V_{\text{GB}} - (-0,9594 \text{ V}))}{3,9 \cdot 8,85 \cdot 10^{-14} \text{ F/cm}}$$

$$V_{\text{GB}} > -9,0406 \text{ V}$$

Entonces:

$$-9,0406V < V_{GS} < 9,8591V$$

$$\phi_0 V_{FB} = -0,97V$$

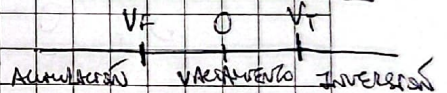
$$V_T = 0,466V$$

$$C'_{ox} = 0,28 \mu F/a^2 = 0,28 \cdot 10^{-6} F/a^2$$

$$\gamma = 0,68 V^{0,5}$$

$$V_{GS} = 0V$$

a) Si $V_{GS} = 0V$, el regímen está en locación y considera equilibrio térmico.



b) Dado que $V_{FB} = -\phi_B \Rightarrow \phi_B = 0,97V$

$$\phi_B = \phi_m - \phi_p \Rightarrow 0,97V - 0,55V = 0,42V = -\phi_p$$

$$\Rightarrow \phi_p = -0,42V$$

$$\phi_p = -28,9mV \text{ Lu } \frac{Na}{Mg} \Rightarrow \exp\left(\frac{0,42V \cdot 1000mV}{28,9mV \cdot V}\right) \cdot 6,822 \cdot 10^9 \text{ cm}^{-3} = Na$$

$$\Rightarrow Na = 7,5253 \cdot 10^{10} \text{ cm}^{-3}$$

$$c) C'_{ox} = \frac{\epsilon_{ox}}{t_{ox}} = \frac{3,9 \cdot 8,85 \cdot 10^{-14} \text{ F/cm}}{t_{ox}} = 0,28 \cdot 10^{-6} \frac{\text{F}}{\text{cm}^2}$$

$$t_{ox} = 1,2326 \cdot 10^{-6} \text{ cm}$$

$$d) x_d(V_{GS}) = \frac{\epsilon_s}{C'_{ox}} \left[\sqrt{1 + \frac{4(\phi_{B1} + V_{GS})}{\gamma^2}} - 1 \right]$$

$$x_d(0V) = \frac{11,8 \cdot 8,85 \cdot 10^{-14} \text{ F/cm}}{0,28 \cdot 10^{-6} \text{ F/cm}^2} \left[\sqrt{1 + \frac{4 \cdot 0,97V}{(0,65V)^2}} - 1 \right]$$

$$x_d = 8,1029 \cdot 10^{-6} \text{ cm}$$

$$e) V_{ox,0} = \frac{q N_a x_{d0} t_{ox}}{\epsilon_{ox}}$$

$$V_{ox,0} = \frac{1,602 \cdot 10^{-19} \text{ C} \cdot 7,253 \cdot 10^{16} \text{ cm}^{-3} \cdot 8,1029 \cdot 10^{-6} \text{ cm} \cdot 1,2326 \cdot 10^{-6} \text{ cm}}{3,9 \cdot 8,85 \cdot 10^{-14} \text{ F/cm}}$$

$$V_{ox,0} = 0,3488 \text{ V}$$

$$V_{fb} = \frac{q N_a x_d^2}{2 \epsilon_s} = \frac{1,602 \cdot 10^{-19} \text{ C} \cdot 7,253 \cdot 10^{16} \text{ cm}^{-3} \cdot (8,1029 \cdot 10^{-6} \text{ cm})^2}{2 \cdot 11,7 \cdot 8,85 \cdot 10^{-14} \text{ F/cm}}$$

$$V_{fb} = 0,3822 \text{ V}$$

f)

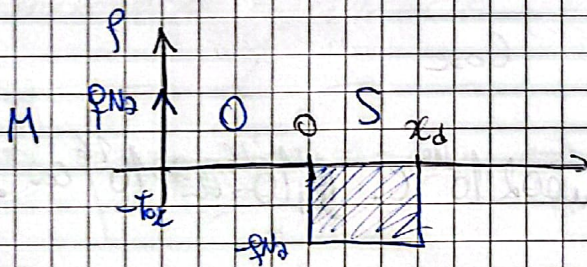
$$\rho_s(x) = -q N_A x_d = -1,602 \cdot 10^{-19} \text{ C} \cdot 7,5253 \cdot 10^{16} \text{ cm}^{-3} \cdot 8,1029 \cdot 10^{-6} \text{ cm}$$

$$\rho_s(x) = -9,7684 \cdot 10^{-8} \text{ C/cm}^2$$

$$\rho_{ox} = -\rho_s(x) \Rightarrow \rho_{ox} = 9,7684 \cdot 10^{-8} \text{ C/cm}^2$$

En la interfaz óxido-sustrato la densidad de carga es nula, ya que solo se acumula en la superficie con el metal y, luego, en la SCR del sustrato.

Gráfica cualitativa.



g) a) Si $V_{GS} = -2V$, el régimen de operación es acumulación ya que $V_{GS} < V_{FB}$
 Si $V_{GS} = 2V$, el régimen de operación es inversión fuerte ya que $V_{GS} > V_T$.

b) ϕ_B no cambia y N_A tampoco

c) ϕ_{ox} no cambia y, por lo tanto, t_{ox} tampoco

$$(d) \quad \alpha_d(V_{GS}) = \frac{\epsilon_s}{C_{ox}} \left[\sqrt{1 + \frac{4(\phi_B + V_{GS})}{\gamma^2}} - 1 \right]$$

$$\text{Si } V_{GS} = -2V$$

α_d es prácticamente nulo, desaparece la zona de inversión en el sustrato.

$$\text{Si } V_{GS} = 2V$$

$$\alpha_{dmax} = \alpha_d(2V) \approx \alpha_d(0,466V) = \frac{117,885 \cdot 10^{14} \text{ e/cm}^2}{0,28 \cdot 10^{-8} \text{ e/cm}^2} \left[\sqrt{1 + \frac{4 \cdot (0,97V - 0,466V)}{(0,65V)^2}} - 1 \right]$$

$$\alpha_{dmax} = 1,7781 \cdot 10^{-6} \text{ cm}$$

e) En funcionamiento $V_{GS} = -2V$ y carga de potencial a el sustrato

$$V_{ox} = V_{GS} - V_{FB}$$

$$V_{ox} = -2V + 0,97V$$

$$V_{ox} = -1,03V$$

En Inversión
($V_{GS} = 2V$)

$$V_B(V_{GS}) \approx V_B(V_T) = -2\phi_p = 2 \cdot 0,42 = 0,84$$

$$V_B(2V) = 0,84V$$

$$V_{ox} + V_B = \phi_B + V_{GS} \Rightarrow V_{ox} = 0,97V + 2V - 0,84V$$

$$V_{ox} = 2,13V$$

(f) En Accumulaci3n ($V_{GS} = -2V$):

$$Q'_{ox} = C'_{ox} (V_{GS} - V_{FB})$$

$$Q'_G = 0,28 \cdot 10^{-6} \frac{F}{cm^2} (-2V + 0,97V)$$

$$Q'_{gate} = -2,884 \cdot 10^{-7} \frac{C}{cm^2}$$

$$Q'_{superficie} = -Q'_{gate}$$

$$Q'_s = 2,884 \cdot 10^{-7} \frac{C}{cm^2}$$

En la interfaz 3xido-superficie vale 0.

En Inversi3n ($V_{GS} = 2V$)

Nuevamente, dentro de la interfaz 3xido-superficie vale 0 ya que solo se acumula carga en la superficie.

$$Q'_{superficie} = -C'_{ox} (V_{GS} - V_T) + q N_A x d_{max}$$

$$Q'_s = -0,28 \cdot 10^{-6} \frac{F}{cm} (2V - 0,466V) - 1,602 \cdot 10^{-19} (7,5253 \cdot 10^{16} cm^{-3} \cdot 1,7781 \cdot 10^{-6} cm^{-3})$$

$$Q'_s = -4,5095 \cdot 10^{-7} \frac{C}{cm^2}$$

$$Q'_{gate} = -Q'_s \Rightarrow$$

$$Q'_{gate} = 4,5095 \cdot 10^{-7} \frac{C}{cm^2}$$

• Parte II: Juntura P+N y otras configuraciones

5. Hasta ahora se trabaja una juntura P+N

donde se cumple que:

$$\phi_{gate} = 550mV$$

$$\phi_{bulk} = \phi_{subs} \rightarrow -550mV < \phi_p < 0$$

recordar

substrato = Bulk

$$V_{FB} = -\phi_B \Rightarrow V_{FB} < 0$$

$$V_T > V_{FB}$$

Para el caso de una juntura P+N se cumple

que:

$$\phi_{gate} = -550mV$$

$$\phi_{bulk} = \phi_{subs} \rightarrow 550mV > \phi_m > 0$$

$$V_{FB} = -\phi_B > 0$$

$$V_T < V_{FB}$$

Como puede observarse, el comportamiento es muy similar, solo que cambian muchos signos.

De esta manera, al igual que en el ejercicio 1:

- ▼ el ejercicio dice Na, pero CREO que debería ser Nd, si no, no tiene mucho sentido, se supone que el substrato/bulk está dopado tipo N. Entiendo que antes decía N_{bulk} (ver foto vieja) y como ahora NO le dice Bulk, lo cambiaron MAL. Lo tomé como N_{bulk} = "Na".

a)

$$C'_{ox} = \frac{\epsilon_{ox}}{t_{ox}}$$

$$t_{ox} = 70 \text{ nm} = 70 \cdot 10^{-9} \text{ m}$$

$$\epsilon_{ox} = 3,9 \cdot 8,85 \cdot 10^{-14} \text{ F/cm}$$

$$C'_{ox} = 4,9307 \cdot 10^{-8} \text{ F/cm}^2$$

$$\gamma = \frac{1}{C'_{ox}} \sqrt{2 \epsilon_s q N_{bulk}}$$

$$\gamma = \frac{1}{4,9307 \cdot 10^{-8} \text{ F/cm}^2} \sqrt{2 \cdot 11,7 \cdot 8,85 \cdot 10^{-14} \text{ F/cm} \cdot 1,602 \cdot 10^{-19} \text{ C} \cdot 8,5 \cdot 10^{15} \text{ cm}^{-3}}$$

$$\gamma = 1,0769 \text{ V}^{1/2}$$

$$\phi_{gate} = -550 \text{ mV}$$

$$\phi_m = \phi_{bulk} = \frac{kT}{q} \ln \frac{N_{bulk}}{N_A}$$

$$\phi_{bulk} = 363,5279 \text{ mV} \rightarrow$$

$$\phi_B = \phi_{gate} - \phi_{bulk}$$

$$\phi_B = -913,52 \text{ mV}$$

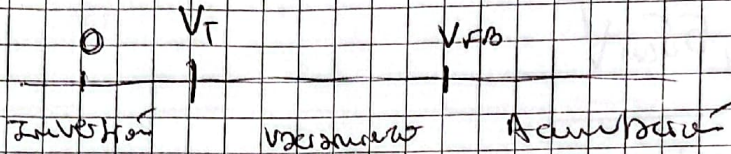
$$V_{FB} = -\phi_B \Rightarrow V_{FB} = 913,52 \text{ mV} > 0$$

$$V_T = V_{FB} - 2 \phi_{bulk} - \gamma \sqrt{2 \phi_{bulk}}$$

$$V_T = 913,52 \text{ mV} - 2 \cdot 363,52 - 1,0769 \text{ V}^{1/2} \sqrt{2 \cdot 363,52}$$

$$V_T = 157,44 \text{ mV} < V_{FB} \quad \checkmark$$

b)



$V_{GS} = 0 \Rightarrow$ Se encuentra a la izquierda entonces está en Inversión.

c) La estructura se invierte, es inversión, lo que significa que

$$x_d(V_{GS}) = x_d(V_T) = x_{dmax} \Rightarrow$$

$$x_{dmax} = \sqrt{\frac{2 \cdot \epsilon_s \cdot 2 \cdot \phi_m}{q \cdot N_d}}$$

ϕ_m potencial

$\phi_m = \phi_{bulk}$ ← este es el potencial de Fermi

$N_d = N_{d_{bulk}}$

$$x_{dmax} = \sqrt{\frac{2 \cdot 11,7 \cdot 8,85 \cdot 10^{-14} \text{ F/cm} \cdot 2 \cdot 0,3635174 \text{ V}}{1,602 \cdot 10^{-19} \text{ C} \cdot 8,5 \cdot 10^{15} \text{ cm}^{-3}}}$$

$$x_{dmax} = 3,3252 \cdot 10^{-5} \text{ cm}$$

d) $V_{bulk} (\text{mV}) \approx V_B (V_T) = 2 \phi_m = 2 \cdot 0,3635174 \text{ mV}$

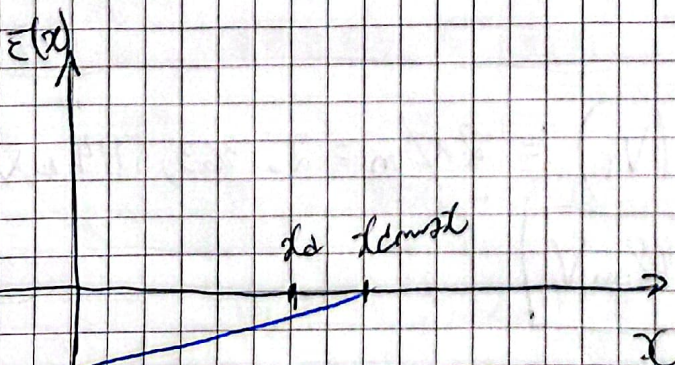
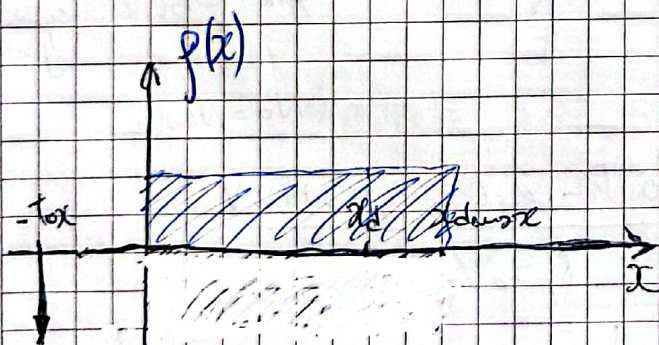
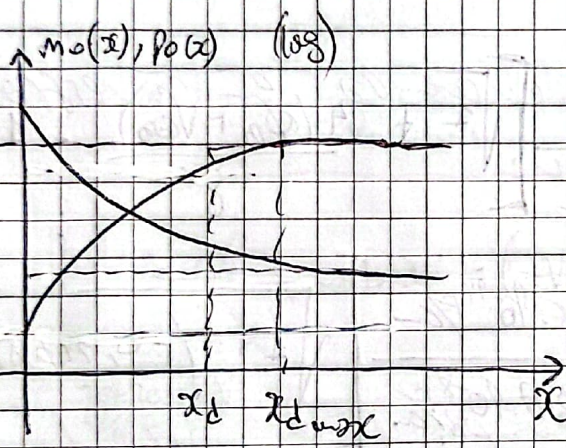
$$V_{sustenido} = V_{bulk} = 727,0348 \text{ mV}$$

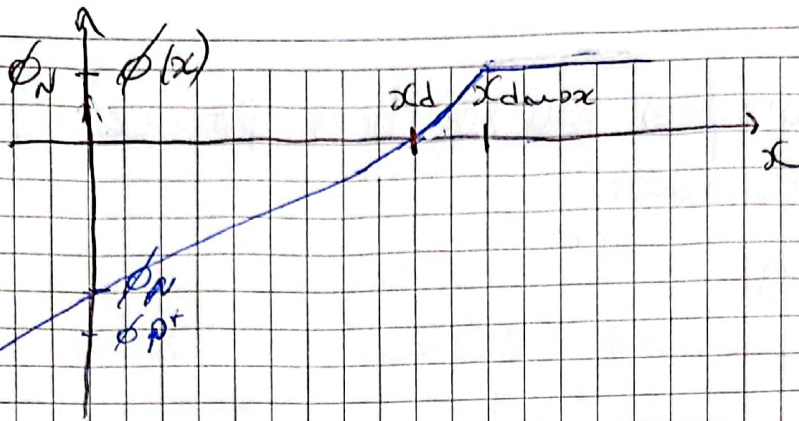
$$V_{ox} = \phi_B - V_{\text{substrato}} + V_{GB}$$

$$V_{ox} = -913,52 \text{ mV} - 727,0348 \text{ mV} + 0 \text{ mV}$$

$$V_{ox} = -1640,55 \text{ mV}$$

e) El gráfico en sí es similar al del punto 2 con la diferencia en los signos.





f) Repetir para $V_{GS} = 2V$ y $V_{GS} = -2V$.

Para el caso de $V_{GS} = -2V$ la estructura continúa en inversión, por lo que:

- a) No cambia
- b) Inversión (no cambia)
- c) No cambia
- d) $V_{sustentado} = 727,03mV$ (no cambia)

$$V_{ox} = \phi_B - V_{sustentado} + V_{GS}$$

$$V_{ox} = -0,91352mV - 0,72703mV - 2V$$

$$V_{ox} = -3,6405V$$

e) No cambian los gráficos

Para $V_{GS} = 2V > V_{FB} \Rightarrow$ Acumulación

a) no cambia ya que no dependen de V_{GS} .

c) En régimen de acumulación $x_d \approx 0$, desaparece.

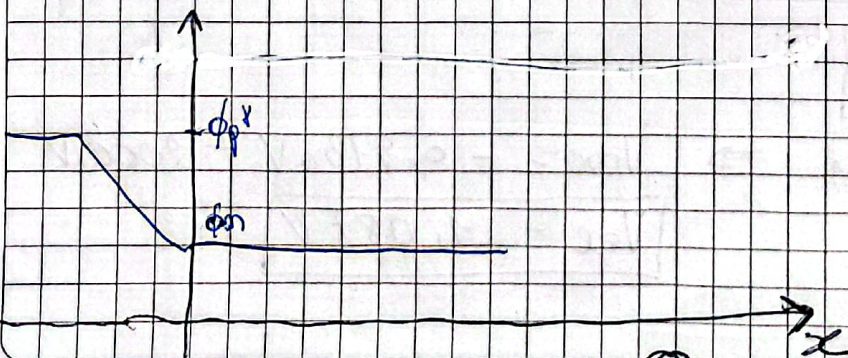
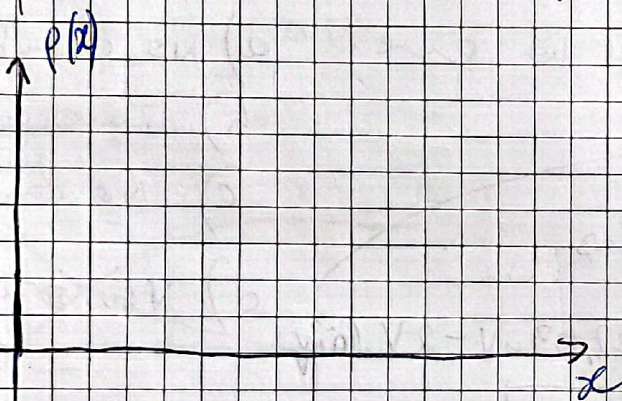
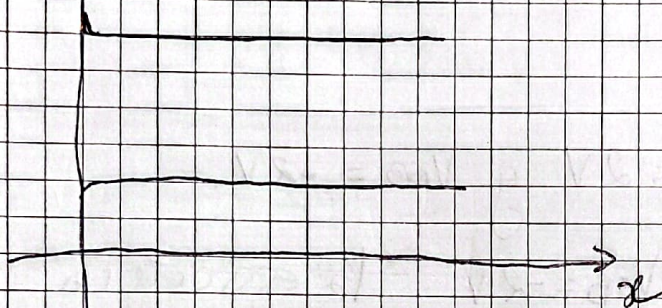
d) $V_{sustentado} = 0$

$$V_{sustentado} + V_{ox} = \phi_B + V_{GS} \Rightarrow V_{ox} = -0,913mV + 2000mV$$

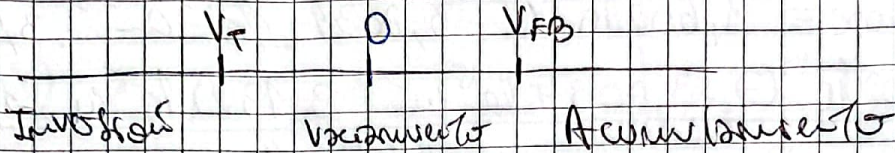
$$V_{ox} = 1,087V$$

e) nuevamente, los gráficos son similares pero con sentidos cambiados:

n $m_0(x), p_0(x)$ log



6. Mediamente Junctura P⁺N



a) $V_{GS} = 0 \Rightarrow$ Se encuentra en variamente.

b)

$$x_d(V_{GS}) = \frac{\epsilon_s}{C_{ox}} \left[\sqrt{1 - \frac{4(\phi_B + V_{GS})}{\phi^2}} - 1 \right]$$

NOTAR EL CAMBIO DE SIGNO EN P⁺N

$$V_{FB} = -\phi_B \Rightarrow \phi_B = -0.892 \text{ V}$$

$$x_d(0) = \frac{11.7 \cdot 8.85 \cdot 10^{-14} \text{ F/cm}}{24.65 \cdot 10^{-9} \text{ F/cm}^2} \left[\sqrt{1 - \frac{4(-0.892 \text{ V})}{(1.32 \text{ V}^{1/2})^2}} - 1 \right]$$

$$x_d(0) = 3.1327 \cdot 10^{-5} \text{ cm}$$

c)

$$V_{ox} = \frac{q N_d x_d(V_{GS}) t_{ox}}{\epsilon_{ox}}$$

$$t_{ox} = \frac{\epsilon_{ox} V_{ox}}{q N_d x_d} = \frac{3.9 \cdot 8.85 \cdot 10^{-14} \text{ F/cm}}{24 \cdot 10^{-9} \text{ F/cm}^2}$$

$$t_{ox} = 1.4381 \cdot 10^{-5} \text{ cm}$$

$$259 \text{ mV} \left(\frac{N_d}{n_i} \right) = \frac{892 \text{ mV} - 550 \text{ mV}}{6.822 \cdot 10^9 \text{ cm}^{-3}} \Rightarrow N_d = 3.7034 \cdot 10^{18} \text{ cm}^{-3}$$

$\hookrightarrow 6.822 \cdot 10^9 \text{ cm}^{-3} = 342 \text{ mV}$

e) Para $V_{GS} = -2,5V$, el transistor está en régimen de inversión puesto que $V_{GS} < V_T = -1,157V$

$$b) \quad I_d(V_{GS}) = I_{dmax} = \sqrt{\frac{2 \epsilon_s \cdot 2 \cdot \phi_m}{q N_d}}$$

$$I_{dmax} = \sqrt{\frac{2 \cdot 11,7 \cdot 8,85 \cdot 10^{-14} \text{ F/cm} \cdot 2 \cdot 0,342 \text{ V}}{1,602 \cdot 10^{-19} \text{ C} \cdot 3,7034 \cdot 10^{15} \text{ cm}^{-3}}}$$

$$I_{dmax} = 4,8862 \cdot 10^{-5} \text{ A}$$

c)

$$V_{sustable} \approx 2 \cdot \phi_m = 2 \cdot 0,342 \text{ V}$$

$$V_{sust} = 0,684 \text{ V}$$

$$V_{ox} = -V_{sust} + \phi_B + V_{GS}$$

$$V_{ox} = -0,684 - 0,892 - 2,5 \text{ V}$$

$$V_{ox} = -4,076 \text{ V}$$

d)

$$P_s = C'_{ox} (-V_{GS} + V_{FB}) + q N_d \cdot I_{dmax}$$

$$P_s = 24,65 \cdot 10^{-9} \frac{\text{F}}{\text{cm}^2} (-2,5 \text{ V} - 0,892 \text{ V}) + 1,602 \cdot 10^{-19} \text{ C} \cdot 3,7034 \cdot 10^{15} \text{ cm}^{-3} \cdot 4,8862 \cdot 10^{-5} \text{ A}$$

$$P_s = 6,8626 \cdot 10^{-8} \text{ C/cm}^2$$

En brn de p₂

$$P_{ox} = -6,8626 \cdot 10^{-8} \text{ C/cm}^2$$

ox - sust. es mole.

para $V_{GS} = 2,5V$, el transistor se encuentra e-ativamente de conducción y a que $V_{GS} > V_{PB}$

b) $\alpha_d \approx 0$

c) $V_{BUST} = 0$

$$V_{ox} = \phi_B + V_{GS}$$

$$V_{ox} = -0,892V + 2,5V$$

$$V_{ox} = 1,608V$$

d) $f_s = C_{ox}^+ (V_{GS} - \phi_B)$

$$f_s = 24,65 \cdot 10^9 F/m^2 (2,5V - 0,892V)$$

$$f_s = 3,96372 \cdot 10^{-8} C/m^2$$

$$f_{ox} = -3,96372 \cdot 10^{-8} C/m^2$$

en interfaz ox-semi es nula.

7. c) Similar al caso anterior

$$\phi_m = 25,9 \text{ mV} \ln \left(\frac{1 \cdot 10^{25} \text{ cm}^{-3}}{6,822 \cdot 10^9 \text{ cm}^{-3}} \right)$$

$$\phi_m = 308,0892 \text{ mV} = \phi_{\text{subt}}$$

$$\phi_B = -550 \text{ mV} - 308,08 =$$

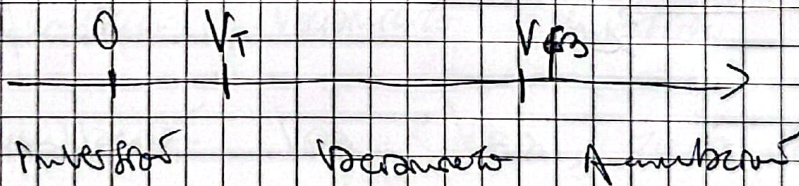
$$\phi_B = -858,08 \text{ mV}$$

$$V_{FB} = -\phi_B \Rightarrow V_{FB} = 858,08 \text{ mV}$$

$$V_T = V_{FB} - 2\phi_{\text{subt}} - \gamma \sqrt{2 \cdot \phi_{\text{subt}}}$$

$$V_T = 0,858 - 2 \cdot 0,3080 - 0,1055 \text{ V}^{0,5} \cdot \sqrt{2 \cdot 0,3080}$$

$$V_T = 0,15916 \text{ V} = 159,16 \text{ mV}$$



b) La función de energía es $V_{GS} < V_T$ reversión de inversión

$$C'_{ox} = \frac{\epsilon_{ox} - 39,888 \cdot 10^{-14} \text{ F/cm}^2}{t_{ox} \cdot 20 \cdot 10^{-7} \text{ cm}}$$

$$C'_{ox} = 1,7257 \cdot 10^{-7} \text{ F/cm}^2$$

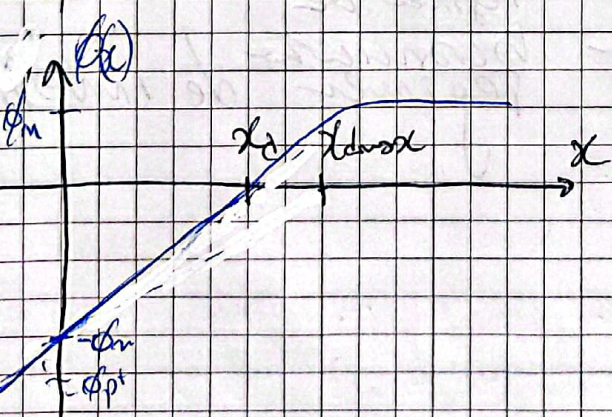
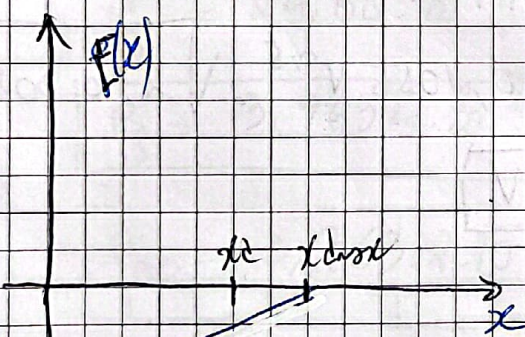
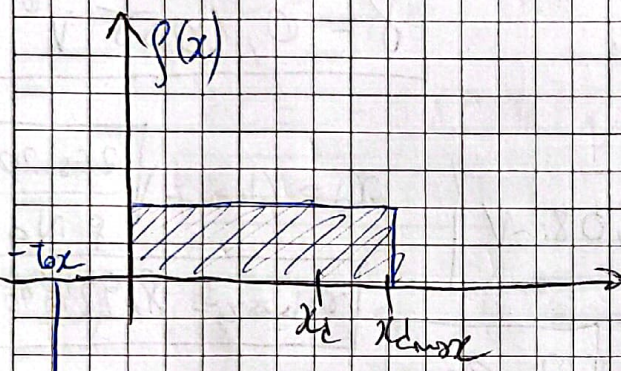
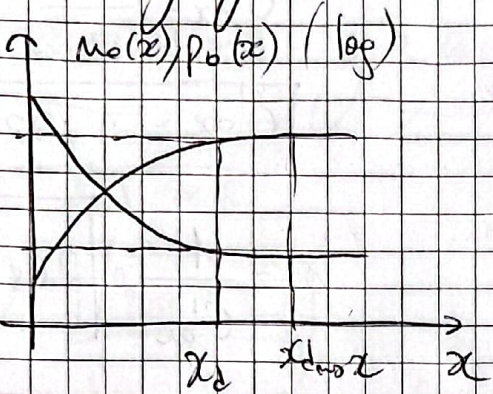
$$\gamma = \frac{1}{C'_{ox}} \sqrt{2 \epsilon_s q N_d}$$

$$\gamma = 0,1055 \text{ V}^{0,5}$$

$$2d \approx \lambda_{\text{decox}} = \sqrt{\frac{2 \epsilon_s \cdot 2 \phi_m}{q N_d}}$$

$$\lambda_{\text{decox}} = 8,9248 \cdot 10^{-5} \text{ cm}$$

a) Los gráficos son similares a los del punto 5.(e)

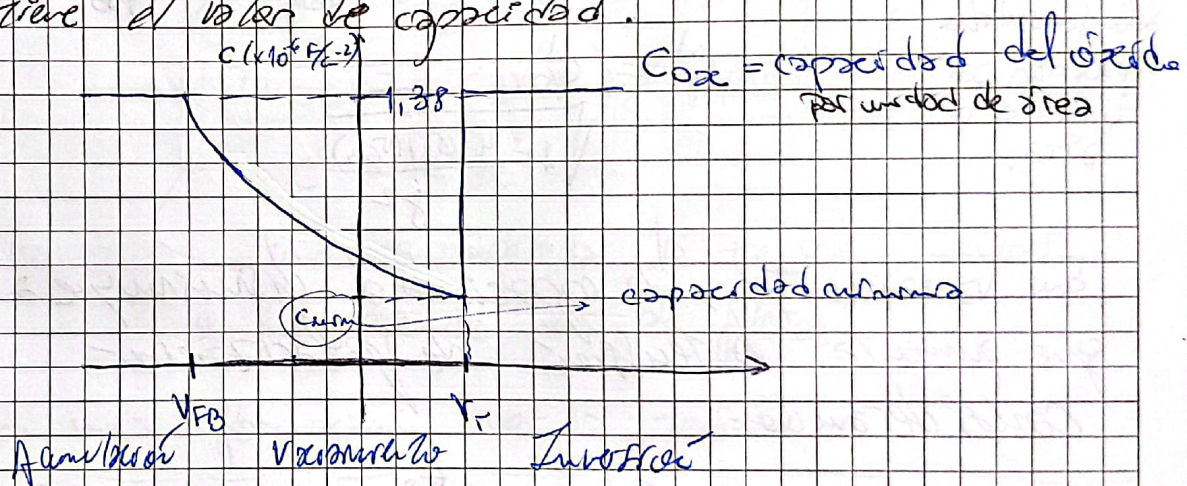


• PARTE III: Capacidad de Junctura

So a) La estructura MOS es muy similar a un capacitor de placas planas paralelas, donde una de las placas se constituye como un semi-conductor en lugar de un metal.

$$C' = \frac{C'_{ox} (N_{GB})}{d N_{GB}} \bigg|_{V_{GB}}$$

luego, multiplicando por el área de la junctura se obtiene el valor de capacidad.



En acumulación $V_{GB} < V_{FB}$, toda la carga se encuentra en la interfaz con el aislante y el potencial eléctrico se aplica al aislante.

$$N_{ox} = N_{GB} - V_{FB} = E_{tox}$$

La carga por unidad de área en la compuerta es

$$Q' (N_{GB}) = \frac{E_{ox}}{t_{ox}} (N_{GB} - V_{FB}) = C'_{ox} (N_{GB} - V_{FB})$$

$$\boxed{C' = C'_{ox}}$$

En vaciamiento $V_{GS} < V_{DS} < V_T$:
 la carga se distribuye a lo largo de la SCR,
 la extensión de la SCR depende de V_{GS}

$$Q'(V_{GS}) = q N_{bulk} x_d(V_{GS})$$

$$x_d(V_{GS}) = \frac{\epsilon_s}{C'_{ox}} \left[\sqrt{1 + \frac{4(\phi_B + V_{GS})}{\gamma^2}} - 1 \right]$$

$$C' = q N_{bulk} \frac{\partial x_d(V_{GS})}{\partial V_{GS}} \Big|_{V_{DS}}$$

* recordar que el
 subíndice de la
 capacidad por
 unidad de
 área.

$$C' = \frac{C'_{ox}}{\sqrt{1 + \frac{4(\phi_B + V_{GS})}{\gamma^2}}}$$

En vaciamiento, la capacidad disminuye a medida
 que aumenta la tensión de polarización
 considerando:

$$C'_{vac} = \frac{\epsilon_s}{x_d(V_{GS})}$$

Puede reescribirse la ecuación de la siguiente
 forma:

$$C' = \frac{C'_{vac} C'_{ox}}{C'_{vac} + C'_{ox}}$$

Desde el punto de vista eléctrico esto puede
 considerarse como dos capacitores en serie.

Se tiene una capacidad debido al detector de
del óxido y una capacidad en serie debido
al semi-conductor.

Finalmente, en intervalos $V_{DS} > V_T$

La carga en la SCR se mantiene fija, la capacitancia
de la SCR llega a un valor máximo.

La variación de carga se produce en la capa de
interacción en la interfaz con el aislante.

$$q'(V_{DS}) = C'_{ox} (V_{DS} - V_T) + q N_{int} x_{max}$$

$$x_{max} = x_d(V_T) + f(V_{DS})$$

$$C' = C'_{ox}$$

una vez superada la tensión umbral
ya no depende más de $f(V_{DS})$.

* para más información ver la teoría.

$$b) \quad C'_{ox} = \frac{q_{ox}}{t_{ox}} \Rightarrow t_{ox} = \frac{q_{ox}}{C'_{ox}}$$

Del gráfico de la figura 1 se deduce que si $V_{DS} = V_{DS}$,
o bien $V_{DS} < V_{DS} \Rightarrow C = 1,38 \cdot 10^{-6} \text{ F/cm}^2$

Además, se encuentra a acumulación para este caso,
por lo que: $C' = C'_{ox}$

$$(1,38 \cdot 10^{-6} \text{ F/cm}^2) \cdot 3,9 \cdot 8,85 \cdot 10^{14} \text{ F/cm} = t_{ox} \Rightarrow$$

$$t_{ox} = 2,502 \cdot 10^{-7} \text{ cm}$$

c) Resulta útil calcular V_{FB} , V_T y ϕ_B

$$\phi_S = \phi_{\text{intrinsic}} = -25,9 \text{ mV} \ln \left(\frac{10^{17} \text{ cm}^{-3}}{6,822 \cdot 10^9 \text{ cm}^{-3}} \right)$$

$$\phi_S = -427,36 \text{ mV}$$

$$\phi_B = 550 \text{ mV} - \phi_S = 550 \text{ mV} + 427,36 \text{ mV}$$

$$\phi_B = 977,36 \text{ mV}$$

$$V_{FB} = -\phi_B \Rightarrow V_{FB} = -977,36 \text{ mV}$$

$$V_T = V_{FB} - 2\phi_S + \gamma \sqrt{2q} \Rightarrow V_T = 0$$

Para obtener C_{min} hay que entender que el circuito se encuentra en régimen de degradación

$$C'_{\text{min}} = \frac{C'_{\text{ox}}}{\sqrt{1 + \frac{4(\phi_B + V_T)}{\gamma^2}}}$$

tal que:

$$C'_{\text{ox}} = 1,38 \cdot 10^{-6} \text{ F/cm}^2$$

$$\phi_B = 0,97736 \text{ V}$$

$$V_T = 0,85472 \text{ V}$$

$$\gamma = \frac{1}{C'_{\text{ox}}} \sqrt{2 \epsilon_s q N_A} = 0,1319 \text{ V}^{1/2}$$

$$C'_{\text{min}} = \frac{1,38 \cdot 10^{-6} \text{ F/cm}^2}{\sqrt{1 + \frac{4(0,977304 + 0,854721)}{(0,1319 \cdot 1/2)^2}}}$$

$$C'_{\text{min}} = 6,72036 \cdot 10^{-8} \text{ F/cm}^2$$

d) $V_{GS} = V_T + 1V$

Si $V_{GS} = 0V + 1V = 1V \Rightarrow$ ESTO es en régimen de inversión

Entonces: (por estar en inversión)

$$x_{dmax} = \sqrt{\frac{2 \cdot \epsilon_s \cdot (V_{GS} - V_T)}{q \cdot N_A}}$$

$$x_{dmax} = 1,0511 \cdot 10^{-5} \text{ cm}$$

$$Q'_s = -q \cdot N_A \cdot x_{dmax} - C_{ox} (V_{GS} - V_T)$$

$$Q'_s = -1,5483 \cdot 10^{-6} \frac{\text{C}}{\text{cm}^2}$$

$$Q'_{ox} = -Q'_s \Rightarrow Q'_{ox} = 1,5483 \cdot 10^{-6} \frac{\text{C}}{\text{cm}^2}$$

$$E_{pox} = \frac{Q'_{ox}}{\epsilon_{ox}} \Rightarrow \frac{1,5483 \cdot 10^{-6} \frac{\text{C}}{\text{cm}^2}}{3,9 \cdot 8,85 \cdot 10^{-14} \frac{\text{F}}{\text{cm}}}$$

$$E_{ox} = 4486243,715 \frac{\text{V}}{\text{cm}}$$

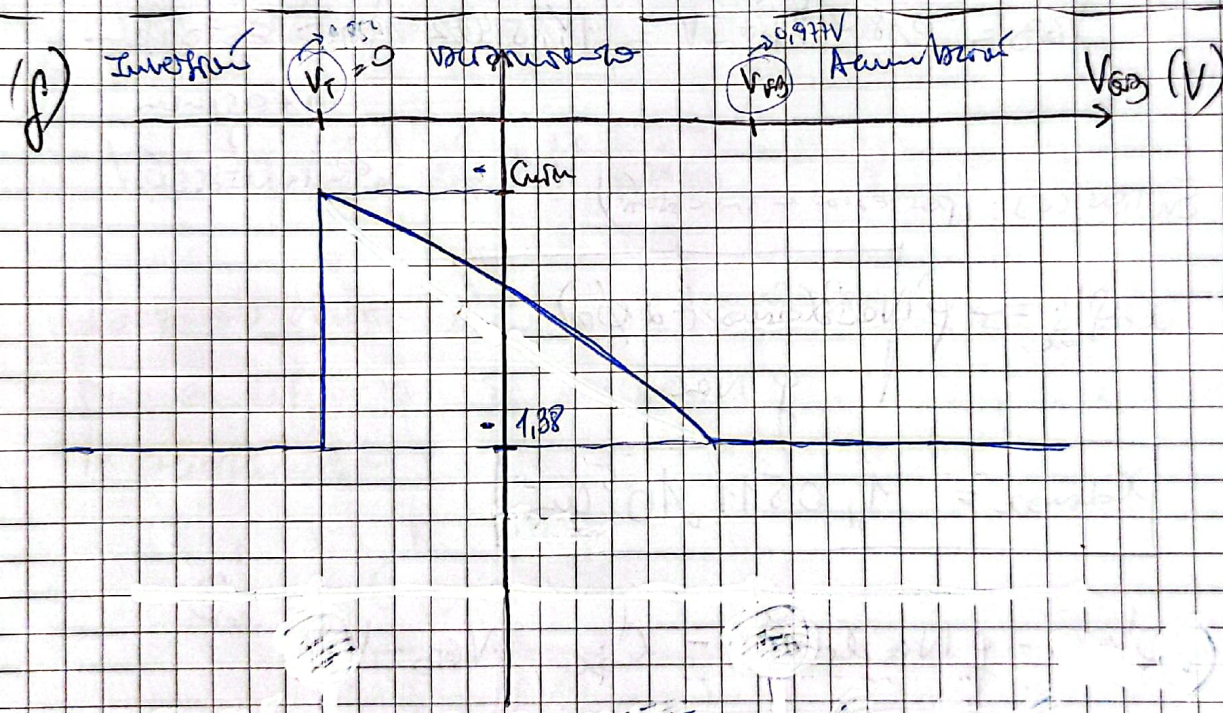
e) $V_{GS} = V_{FB} - 1V$

$V_{GS} = -1,97736V < V_{FB}$

Esto es signo de acumulación

$E_{ox} = \frac{C'_{ox} (V_{GS} - V_{FB})}{\epsilon_{ox}}$

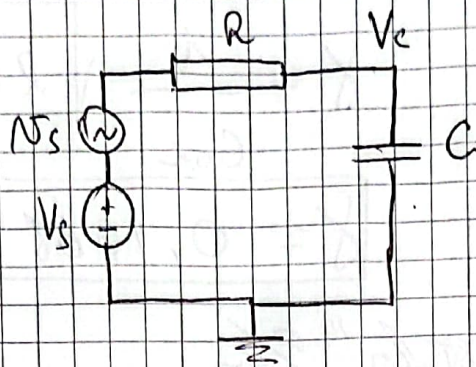
$E_{ox} = 3998261,625 \text{ V/cm}$



Puede pensarse como una inversión del sistema (mover que se cambian los signos de "todo").



9.



$$V_s = 0,3V$$

$$R = 1k\Omega$$

Capacitor junction MOS N⁺P

$$C_{ox} t_{ox} = 100\text{\AA} = 100 \cdot 10^{-10} \text{ m}$$

$$= 100 \cdot 10^{-8} \text{ cm} = 1 \cdot 10^{-6} \text{ cm}$$

$$N_A = 10^{16} \text{ cm}^{-3}$$

$$C'_{ox} = \frac{\epsilon_{ox}}{t_{ox}} = 3,4515 \cdot 10^{-7} \text{ F/cm}^2$$

$$V_s(t) = \begin{cases} 0 & t < t_0 \\ 1\text{mV} & t \geq t_0 \end{cases}$$

(a)

$$\tau = RC \Rightarrow$$

$$\gamma = \frac{1}{C'_{ox}} \sqrt{2q\epsilon_s N_A}$$

$$\gamma = 0,1668 \text{ V}^{1/2}$$

$$\phi_s = -25,9 \text{ mV} \cdot \ln \left(\frac{10^{16} \text{ cm}^{-3}}{6,822 \cdot 10^9 \text{ cm}^{-3}} \right)$$

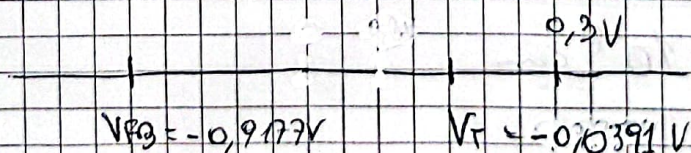
$$\boxed{\phi_s = -367,72 \text{ mV}}$$

$$\phi_B = 550 \text{ mV} + 367,72 \text{ mV}$$

$$\boxed{\phi_B = 917,72 \text{ mV}} = 0,9177 \text{ V}$$

$$V_{FB} = -\phi_B \Rightarrow \boxed{V_{FB} = -0,9177 \text{ V}}$$

$$V_T = V_{FB} - 2\phi_p + \gamma \sqrt{-2\phi_p} \Rightarrow V_T = -0,0391 \text{ V}$$



Dado que \$V_{FB} = 0,3 \text{ V}\$
está en régimen
de inversión

$$C' = \frac{C'_{ox}}{\sqrt{1 + 4 \frac{(\phi_B + V_{GS})}{\gamma^2}}}$$

$$\gamma = \frac{1}{C'_{ox}} \sqrt{2 \epsilon_s q N_a}$$

$$\gamma = 0,1668 \text{ V}^{1/2}$$

$$C'_{ox} = \frac{\epsilon_{ox}}{t_{ox}} = \frac{3,9 \cdot 8,85 \cdot 10^{-14} \text{ F/cm}}{10^{-6} \text{ cm}}$$

$$C'_{ox} = 3,4575 \cdot 10^{-7} \text{ F/cm}^2 \Rightarrow$$

$$C' = \frac{3,4575 \cdot 10^{-7} \text{ F/cm}^2}{\sqrt{1 + 4 \frac{(0,977 \text{ V} + 0,3 \text{ V})}{(0,1668 \text{ V}^{1/2})^2}}}$$

$$C' = 2,6023 \cdot 10^{-8} \text{ F/cm}^2$$

$$\chi_d(0,3 \text{ V}) = \frac{\epsilon_{Si}}{C'_{ox}} \left[\sqrt{1 + \frac{4(\phi_B + V_{GS})}{\gamma^2}} - 1 \right]$$

$$\chi_d(0,3 \text{ V}) = 3,6788 \cdot 10^{-5} \text{ cm}$$

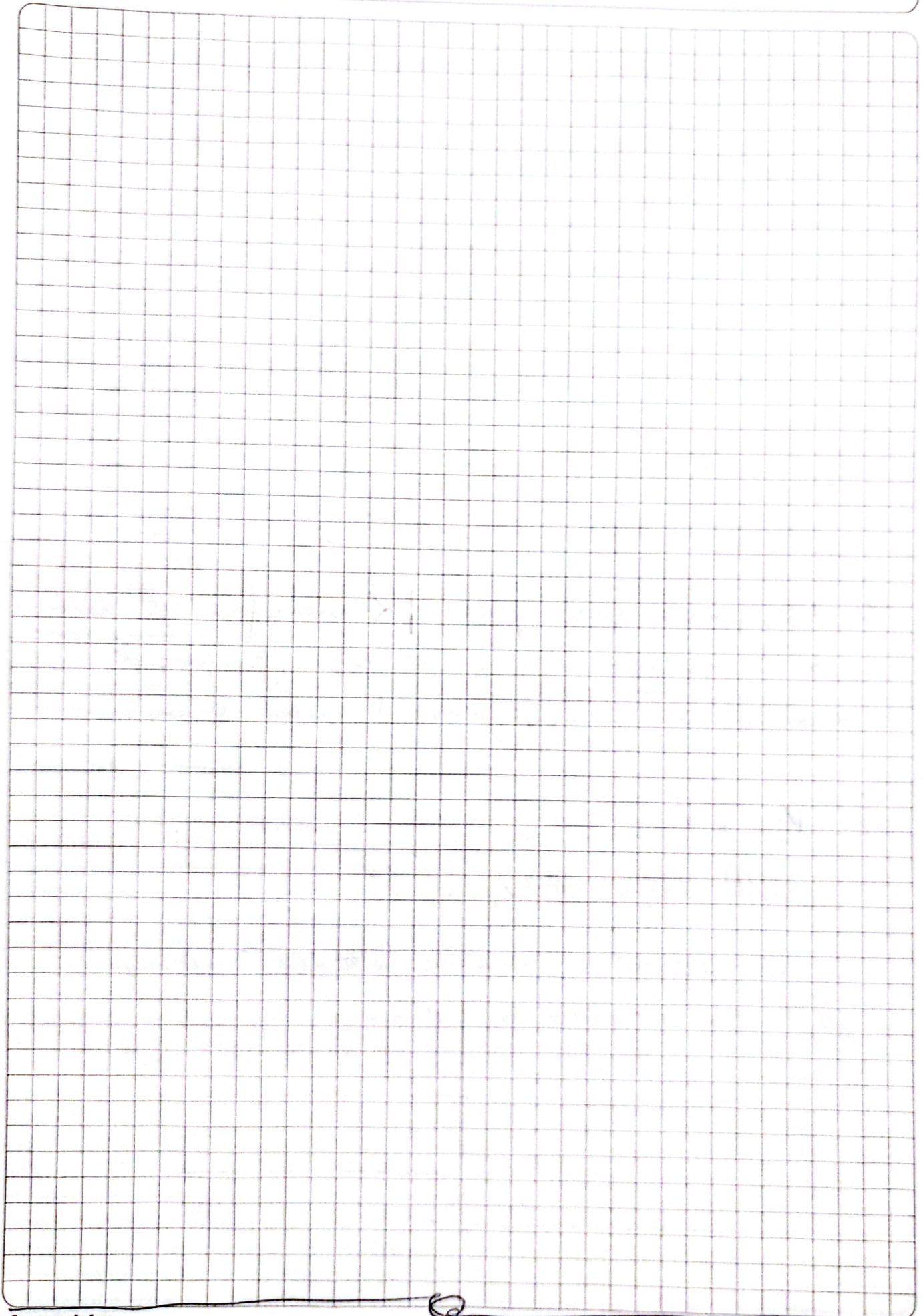
b) No, puesto que $N_S(t)$ modificaría el valor de C' ya que depende de V_{GS} , siempre se mantendría el régimen de vaciamiento.

c) $V_S = 1V$

$$N_S(t) = 100mV = 0,1V$$

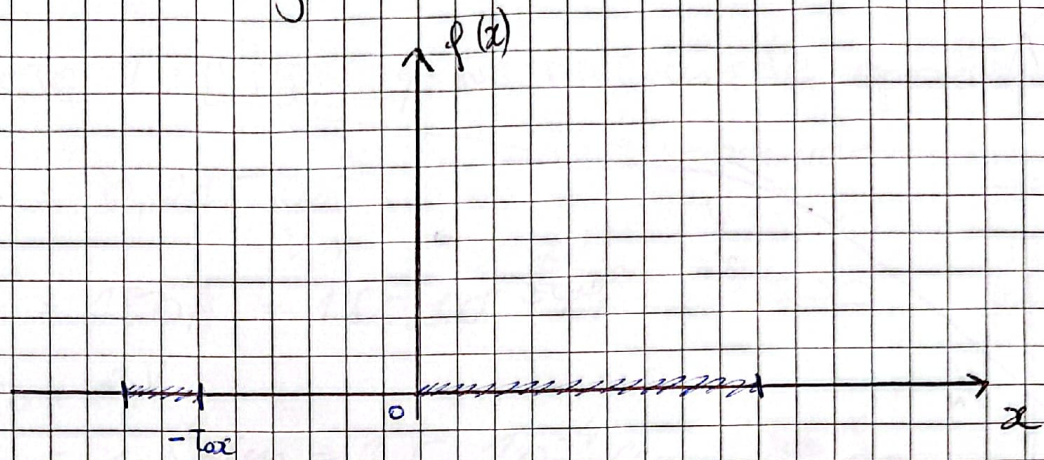
Si $V_S = 1V \Rightarrow$ el régimen estaría en inversión, por lo que cambiaría $C' = C'_{ox}$.

--	--



• PARTE IV: Integradores

10.



polysilicio P^+ con potencia $V_{GS} = 0,8V$

a) está en régimen $V_{GS} = V_{DS} = 0,8V \Rightarrow \phi_B = -0,8V$
de acumulación

b) Es de tipo N ya que

$$\phi_B = \phi_g - \phi_{ovt} = -550mV - \phi_0 = -800mV$$

Es de tipo N $\Leftarrow \phi_B = 250mV$

pues es mayor a cero

c) $259mV \left(\frac{Nd}{ns} \right) = 250mV \Rightarrow \boxed{Nd = 1,0615 \cdot 10^{14} cm^{-3}}$

d) Para $V_{GS} = V_T$ $\phi(x=0) = -\phi_m$ (ver gráfico 7.e)

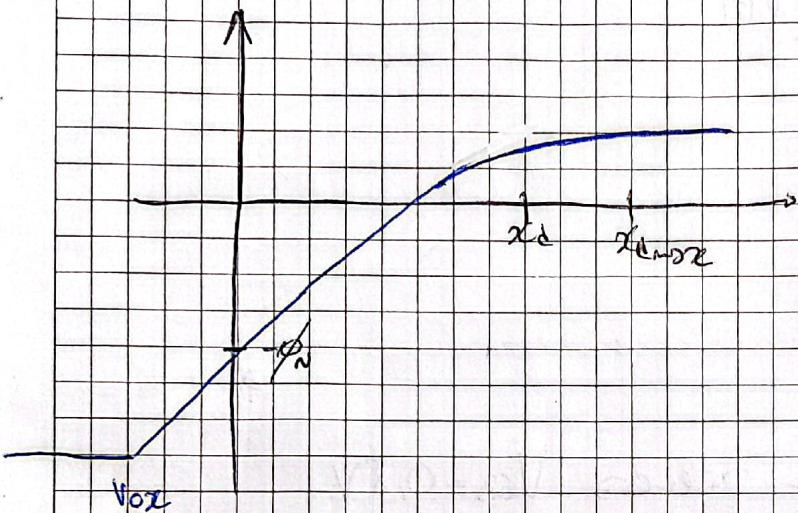
$$\boxed{\phi(x=0) = -250mV}$$

Si $V_{GS} = V_T$ régimen está en inversión, es decir que:

$$p_0(x=0) = Nd = 1,0615 \cdot 10^{14} cm^{-3}$$

$$n_0(x=0) = \frac{kT}{q\phi} = 2138433,1983 cm^{-3}$$

e) $V_{GS} = V_T$



f) como a partir del (a) ya que me tiene de lado de mo:

$$V_T = V_{GS} + 2\phi_m - \gamma \sqrt{2\phi_m}$$

$$V_T = 0,8V + 2 \cdot 0,5 - \gamma \sqrt{2 \cdot 0,25}$$

$$C'_{ox} = \frac{\epsilon_{ox}}{t_{ox}}$$

$$\gamma = \frac{1}{C'_{ox}} \sqrt{2q_s p N_a} \Rightarrow \gamma = \frac{\epsilon_{ox}}{\epsilon_{ox}} \sqrt{2q_s p N_a} \rightarrow 10^{-8} \text{ cm}$$

$$\Rightarrow \gamma = 0,0171 \text{ V}^{1/2}$$

reemplazo en la ecuación de arriba...

$$V_T = 1,2878V$$

